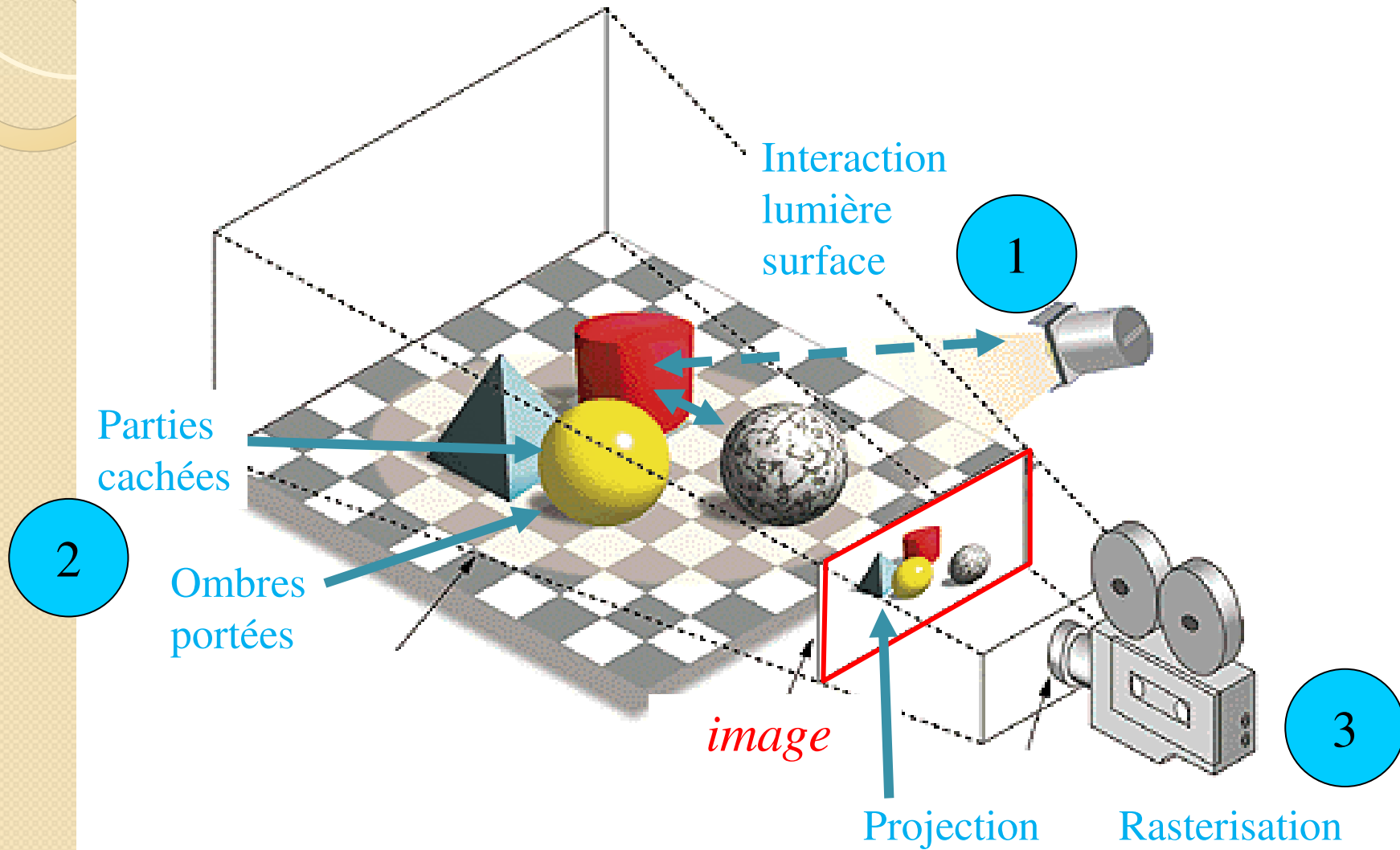




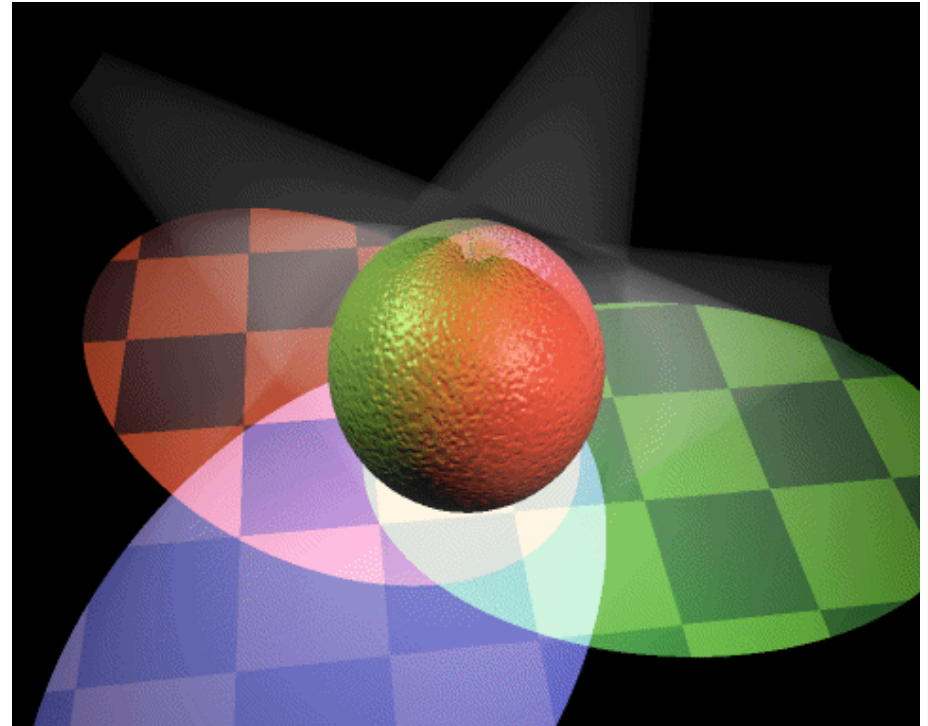
LE RENDU

L'image



Le rendu (shading)

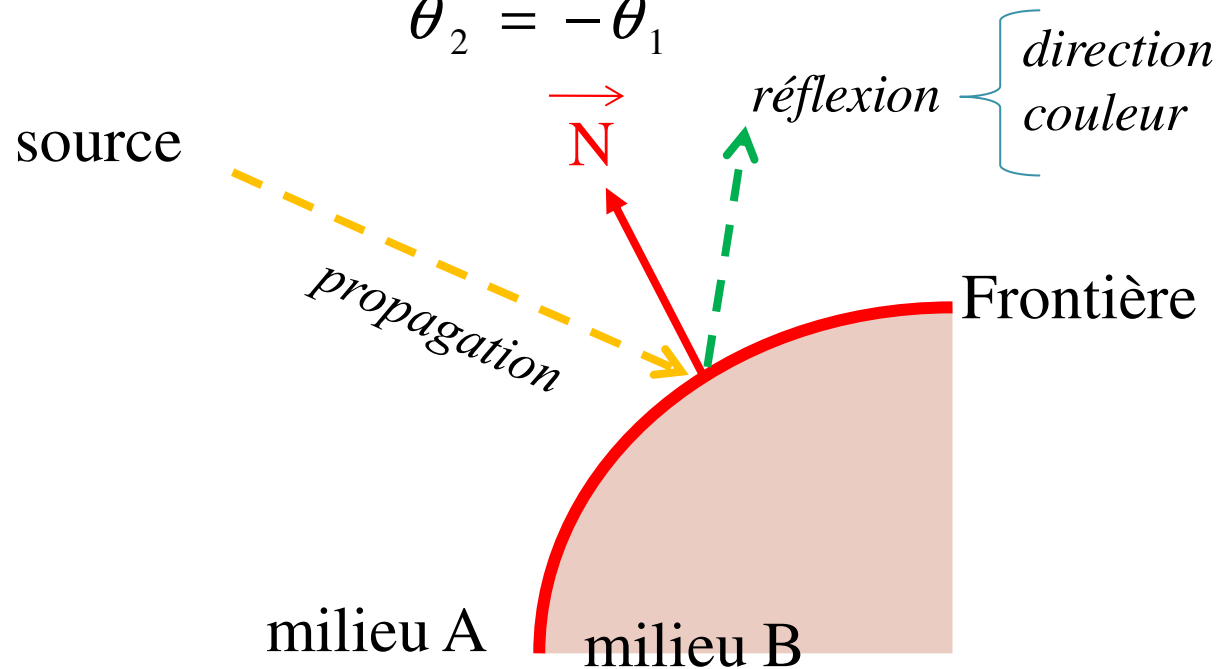
1. Modèle d'éclairage
 1. Rappels physiques
 2. Sources de lumière
 3. Modèles de Réflexions
 4. Milieu
2. Insuffisances du modèle géométrique
 1. Flat shading
 2. Gouraud shading
 3. Phong shading
3. Texture
4. Ray tracing
5. Parties cachées



I.1 Propagation de la lumière

Les lois de Snell-Descarte

$$\theta_2 = -\theta_1$$



La lumière est l'ensemble des ondes électromagnétiques visibles par l'œil humain

$\lambda = 800 \text{ nm}$

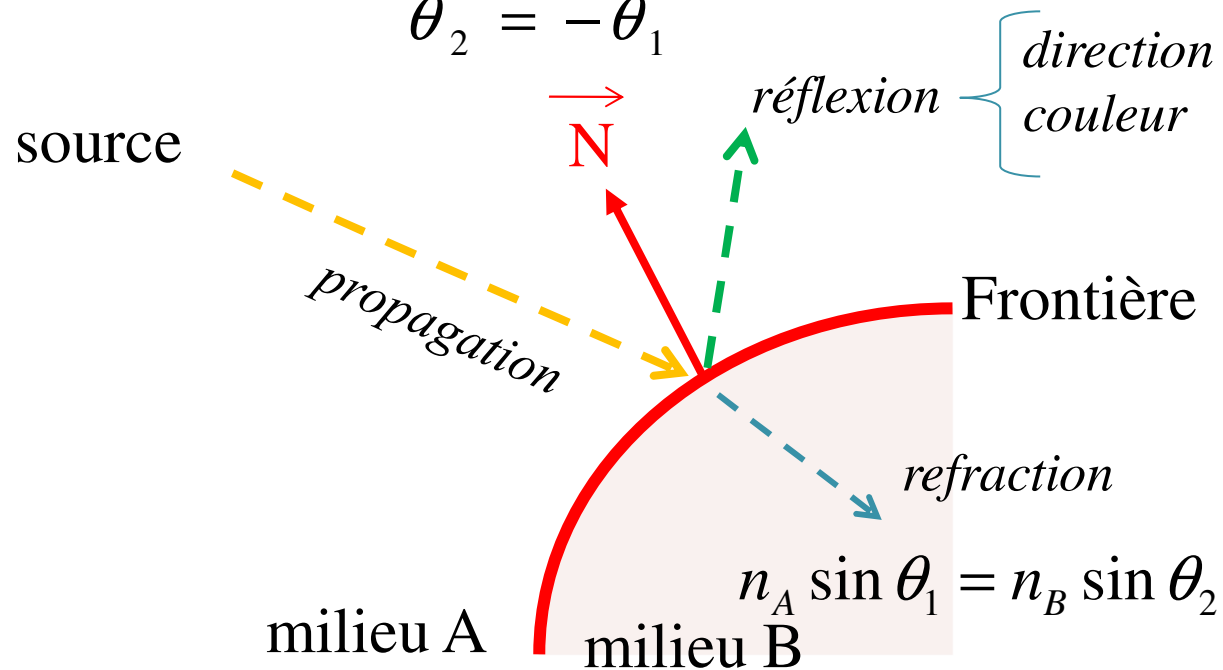


$\lambda = 380 \text{ nm}$

Propagation de la lumière

Les lois de Snell-Descarte

$$\theta_2 = -\theta_1$$



La lumière est l'ensemble des ondes électromagnétiques visibles par l'œil humain

$\lambda = 800 \text{ nm}$

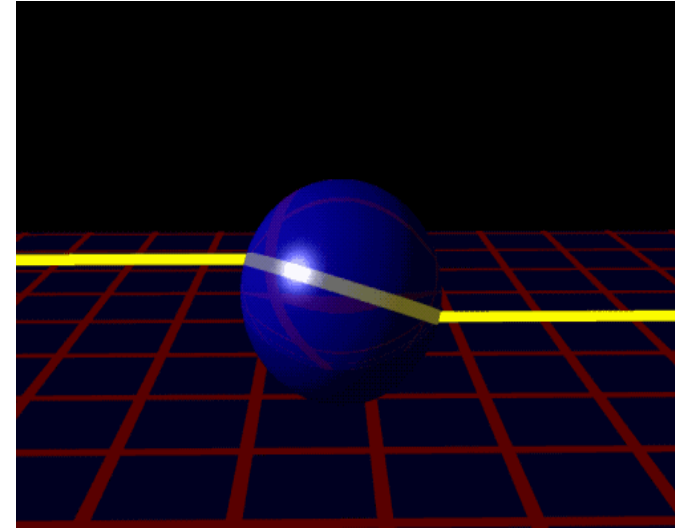
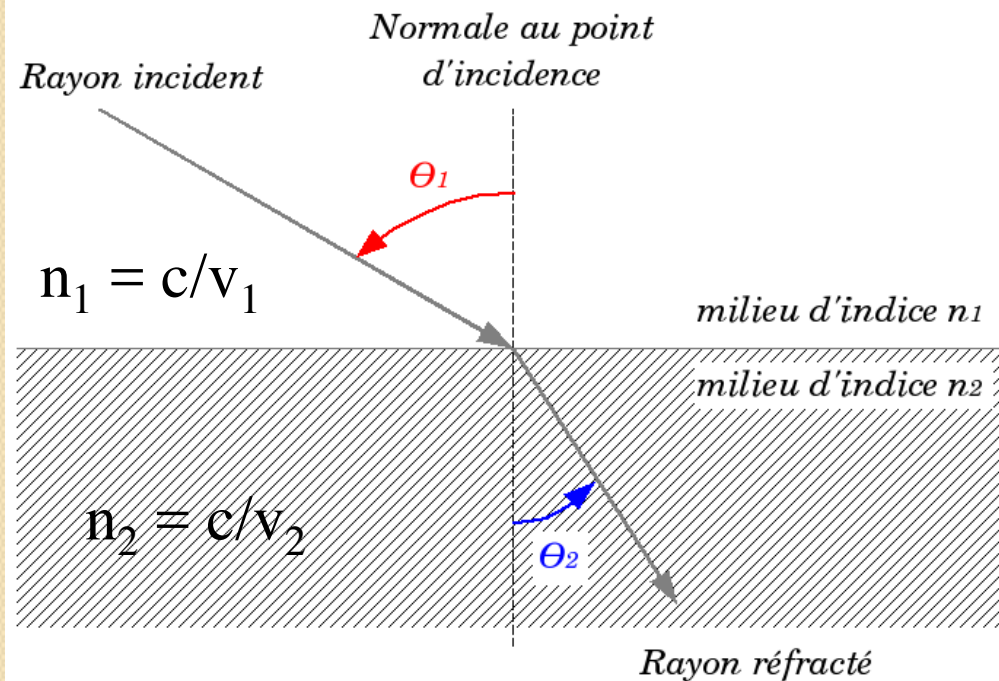


$\lambda = 380 \text{ nm}$

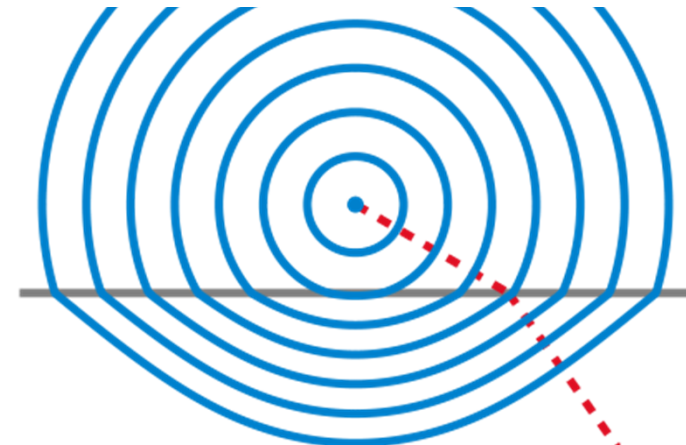
Transparence, réfraction

Loi de Snell-Descartes

$$n_1 \sin \theta_1 = n_2 \sin \theta_2$$



n dépend de λ , T , structure :
matériaux biréfringents



Transparence, réfraction

Conservation de l'énergie

$$T = 1 - R$$

T : Transmittance

R : Réflectance

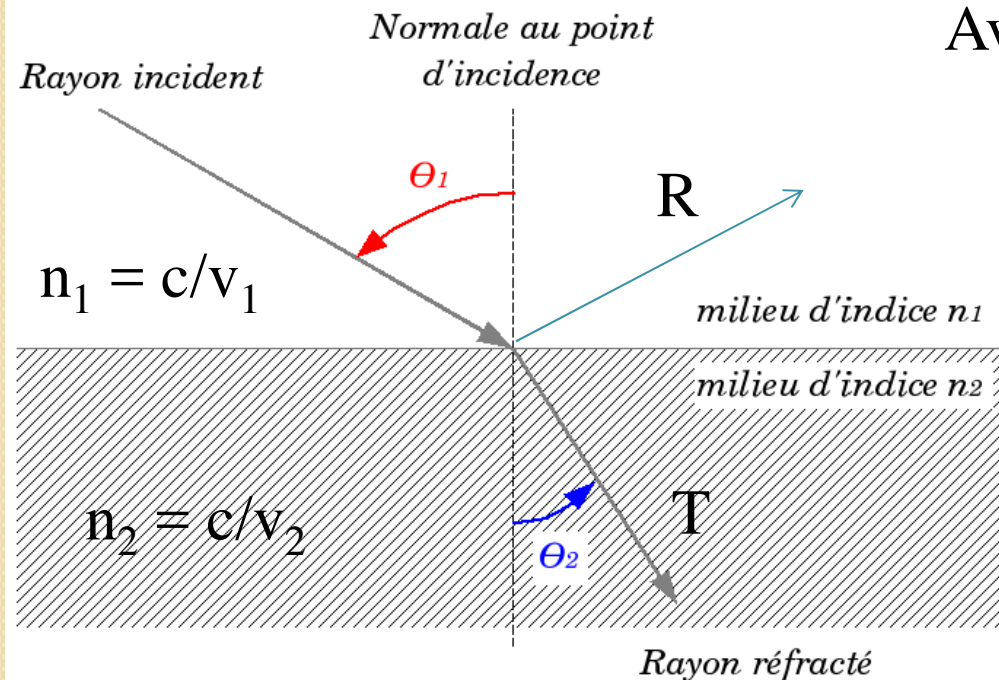
Approximation de Schlick :

$$R(\theta_1) = R_0 + (1 - R_0)(1 - \cos \theta_1)^5$$

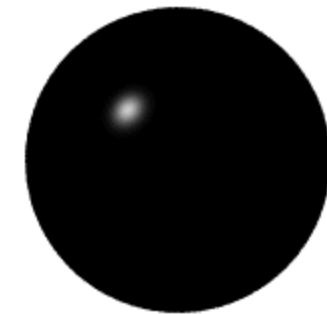
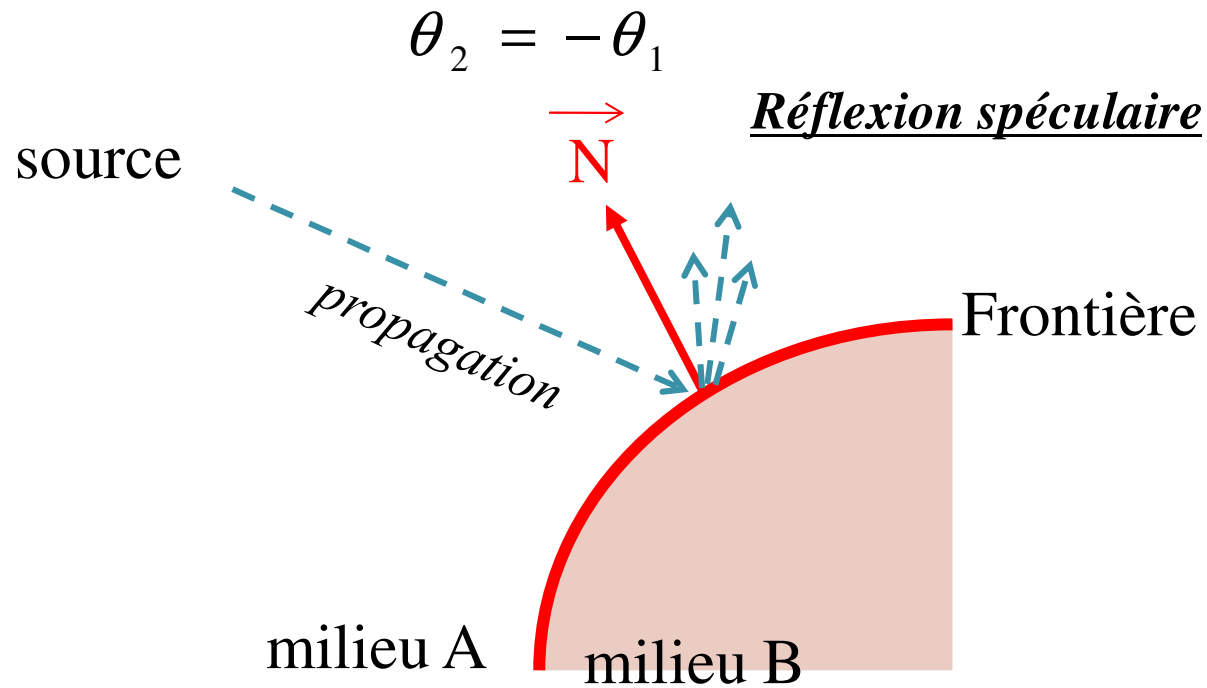
$$\text{Avec } R_0 = ((n_1 - n_2)/(n_1 + n_2))^2$$

Voir les équations de Fresnel :
R dépend de l'onde (polarisation)

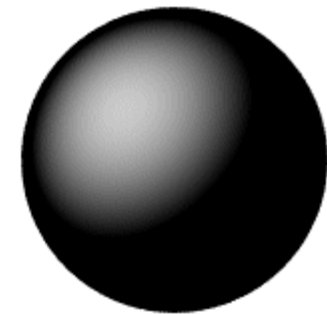
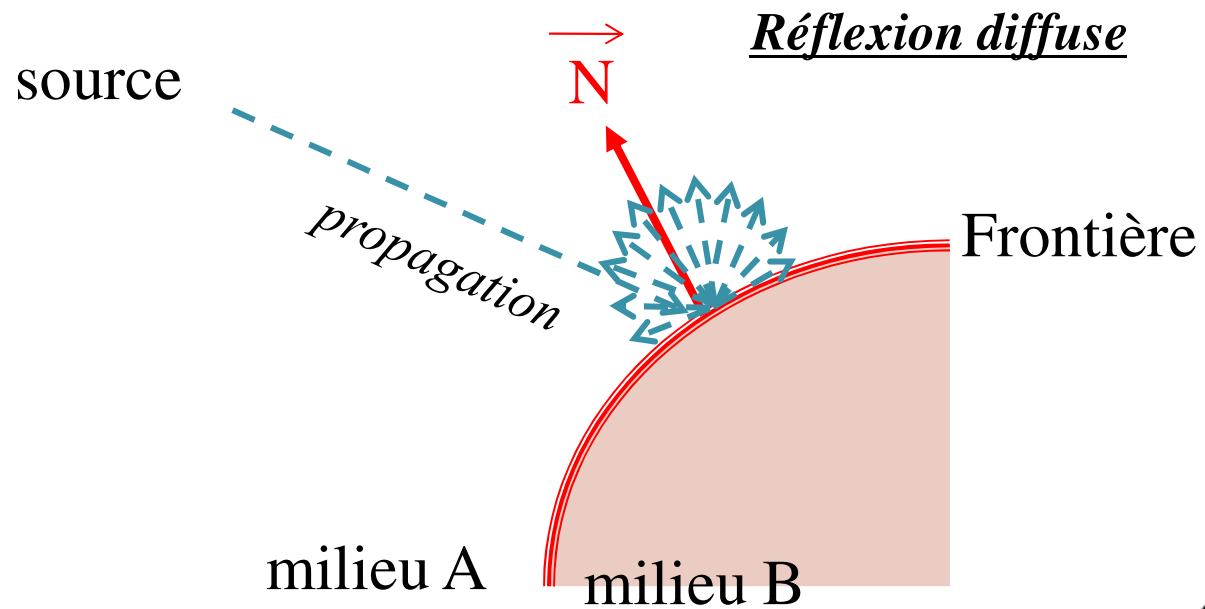
...



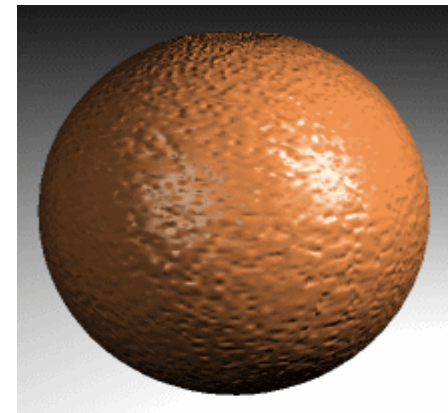
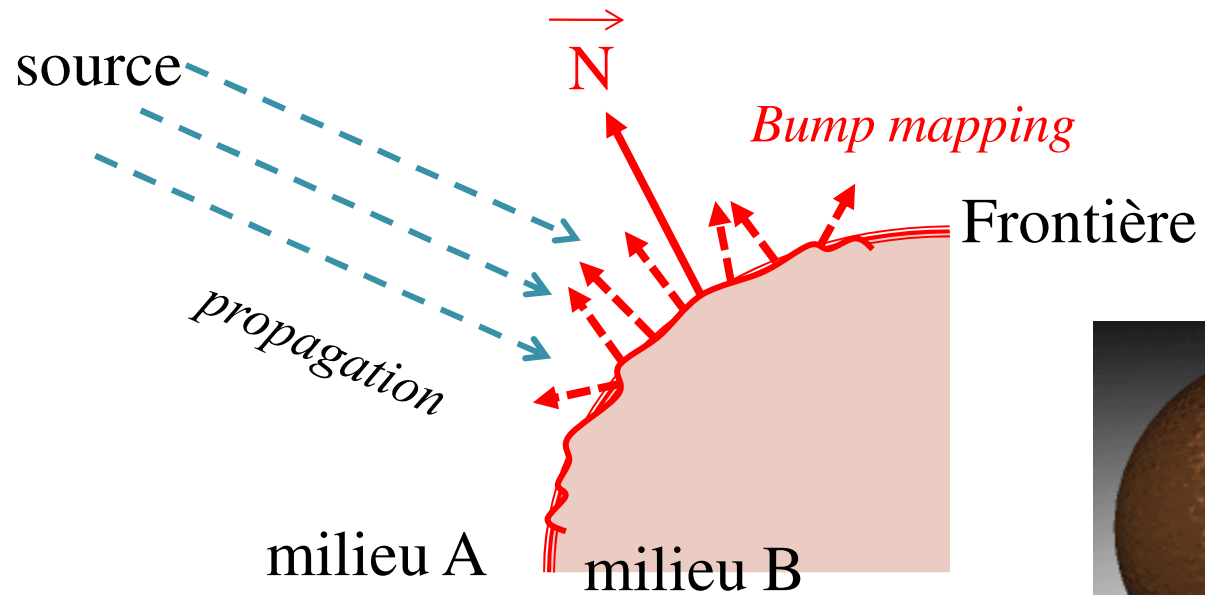
Réflexion spéculaire



Réflexion diffuse



Texture → Bump mapping



Réflexion spéculaire ou diffuse



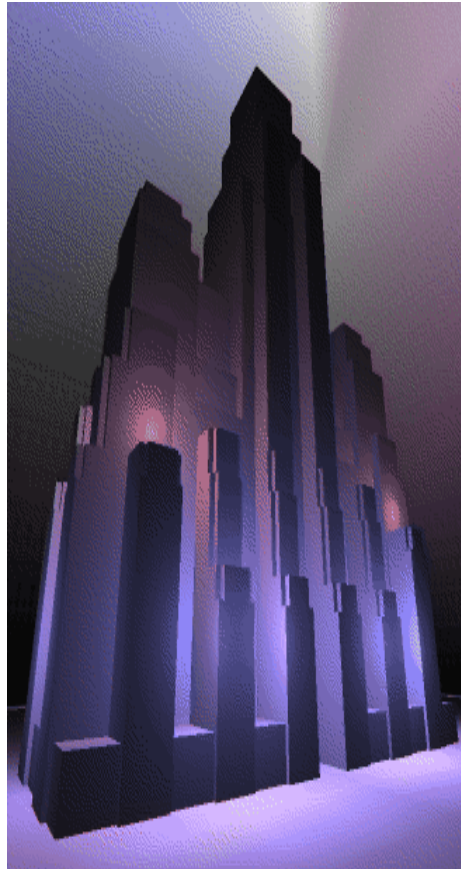
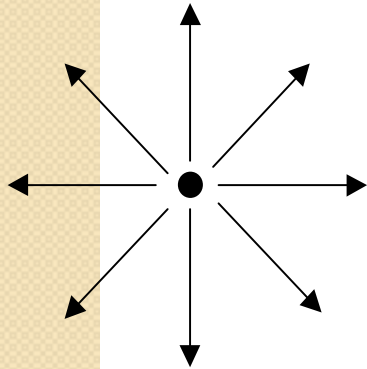
1.2 Source de lumière



Sources ponctuelles

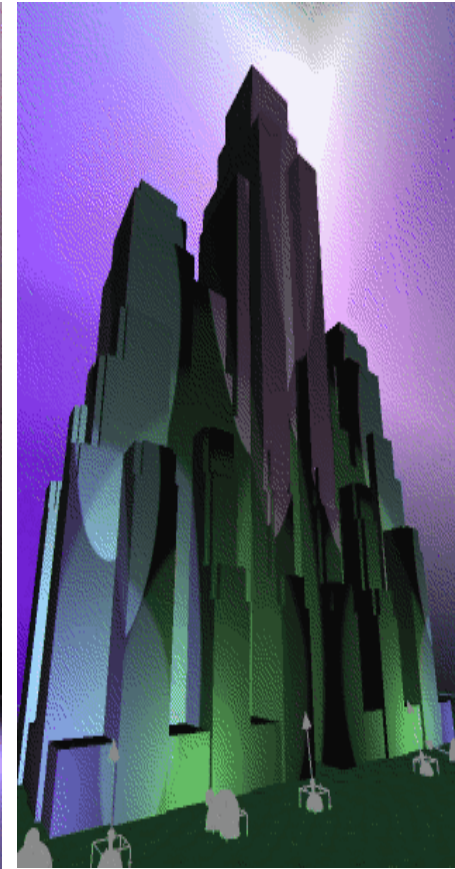
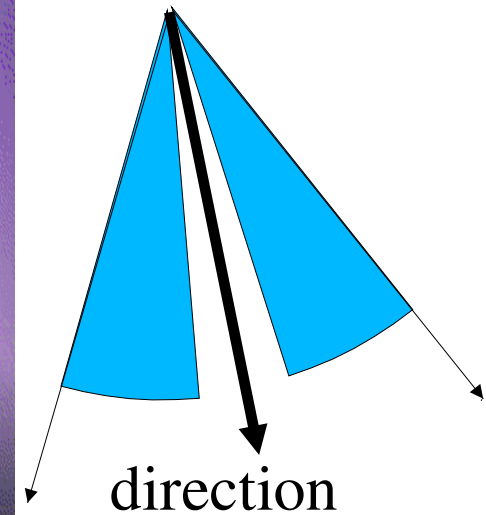
Isotrope

Atténuation en fonction de la distance



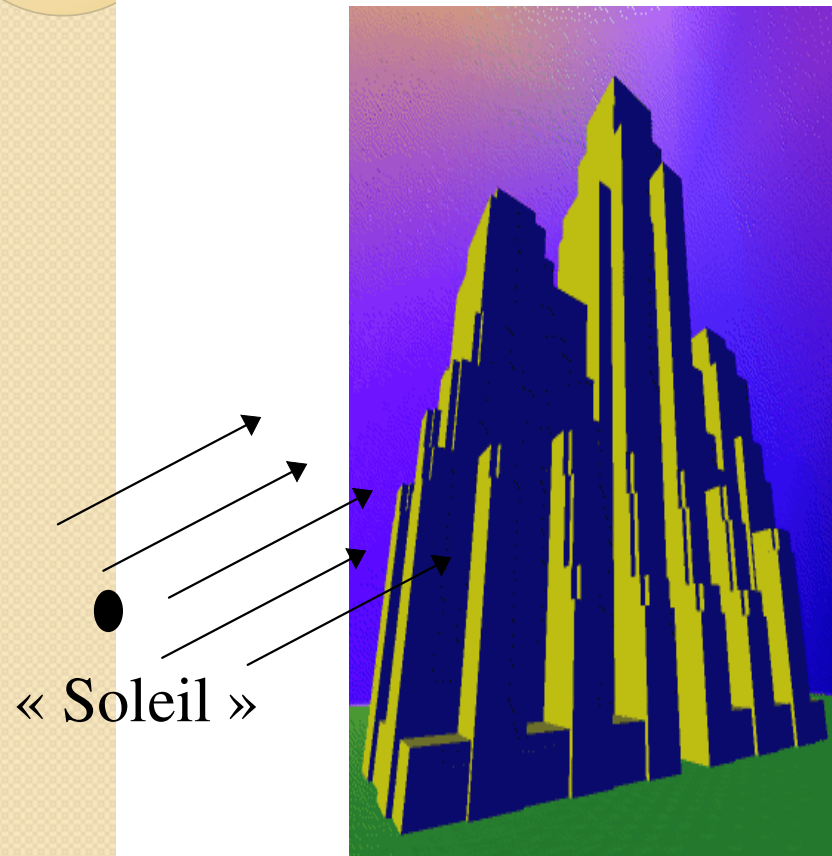
Directionnelle

Atténuation en fonction de la direction



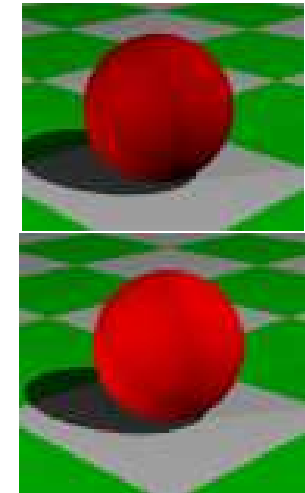
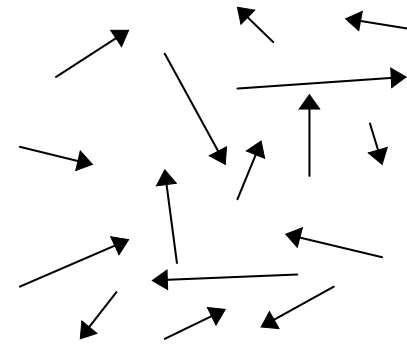
Autres sources

Source directionnelle



Simplification

« Eclairage » ambient
Isotrope et Uniforme



Simplification

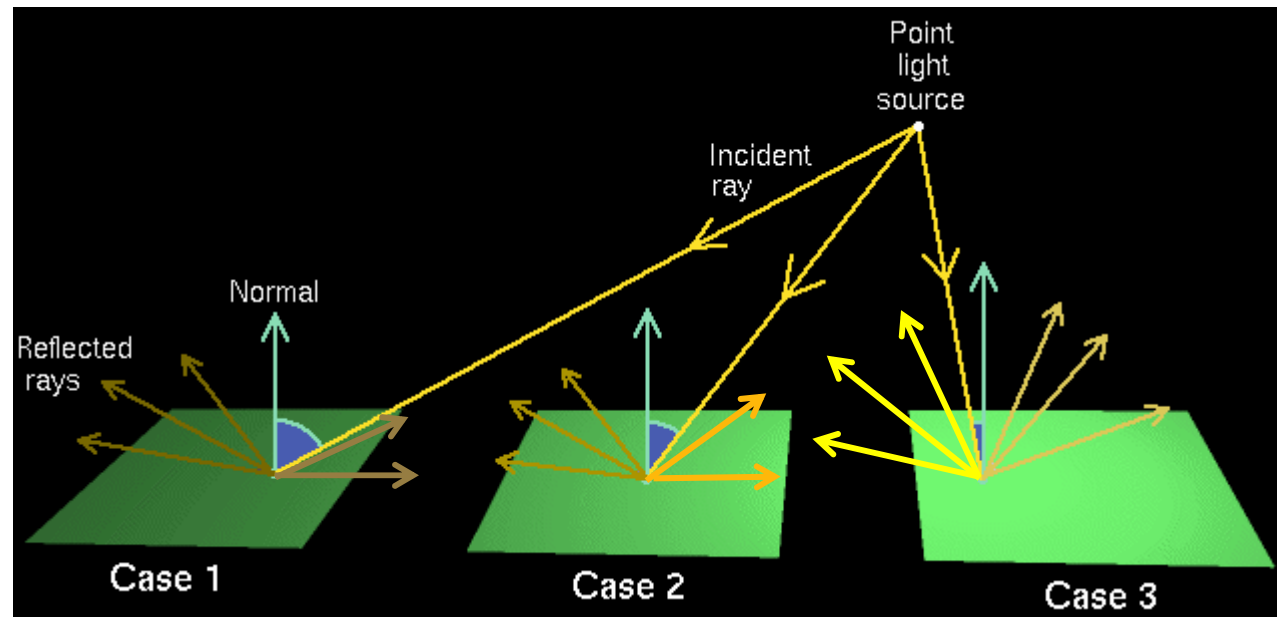
On ne peut pas la négliger...



1.3. Modèles de réflexions/surfaces



Réflexion diffuse

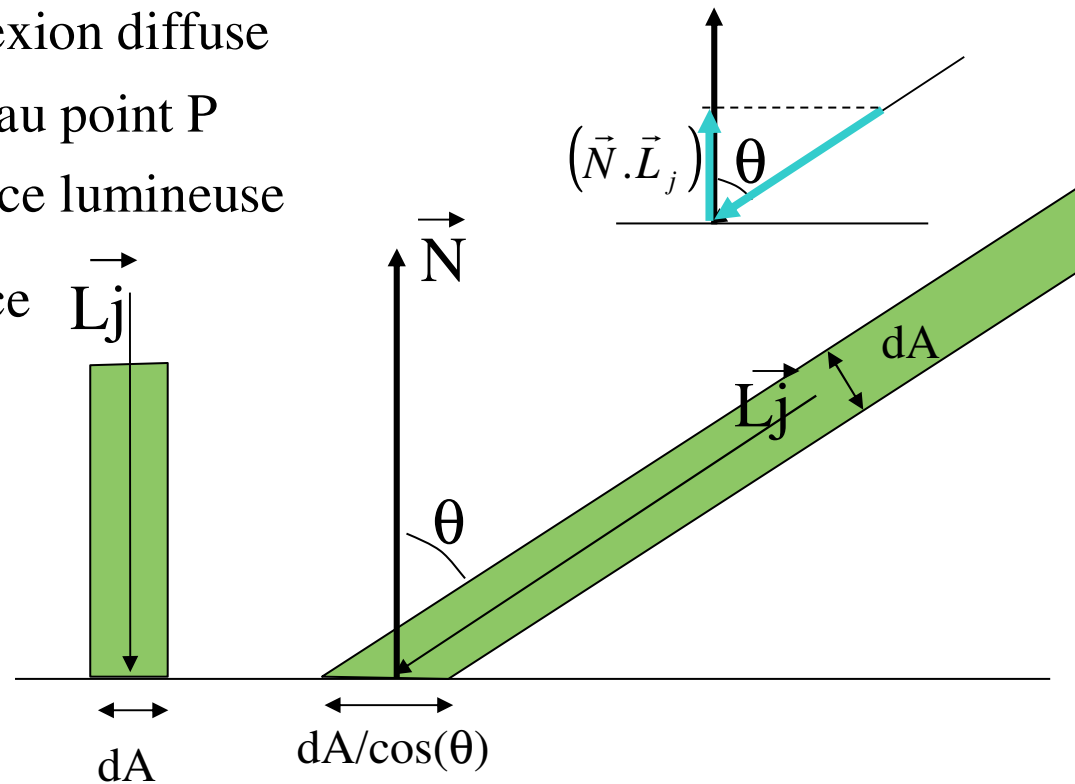


- La **réflexion diffuse** dans toutes les directions (indépendant de l'observateur)
- L'intensité dépend de l'angle entre la source et la normale à la surface
- Réaliste pour les matériaux mats (« rugosité fine » de surface)

Réflexion diffuse : Loi de Lambert

$$I_d = \max \left(-K_d \sum_{sources} \langle \vec{N} \cdot \vec{L}_j \rangle I_j, 0 \right)$$

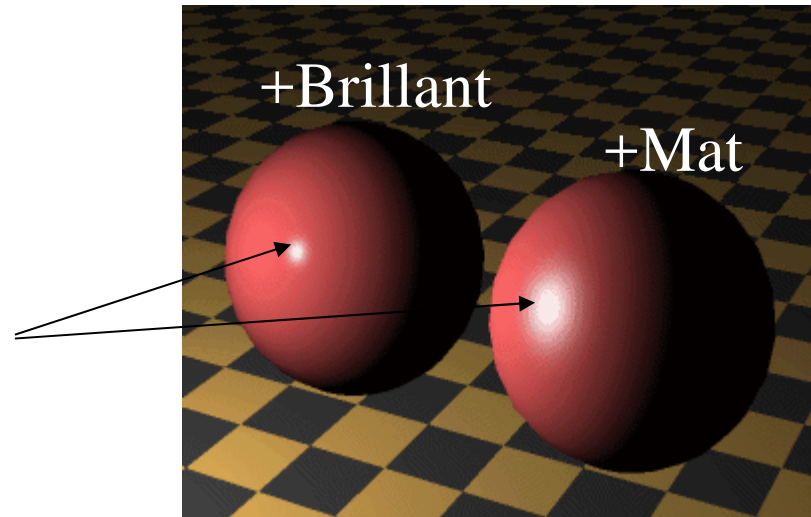
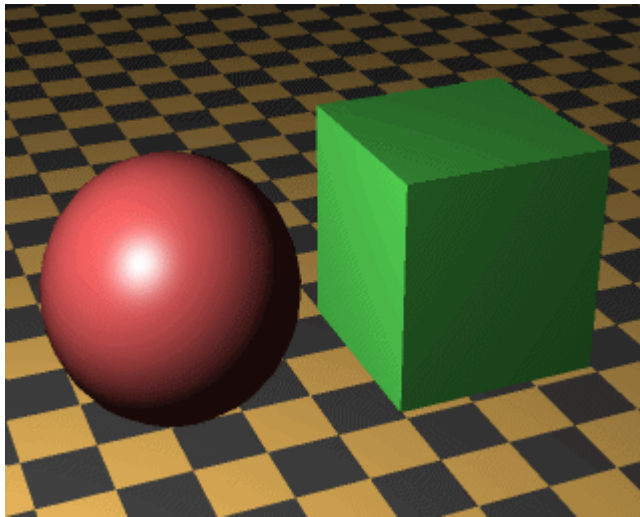
- K_d : coefficient de réflexion diffuse
- \vec{N} : normale à la surface au point P
- \vec{L}_j : direction de la source lumineuse
- I_j : intensité de la source



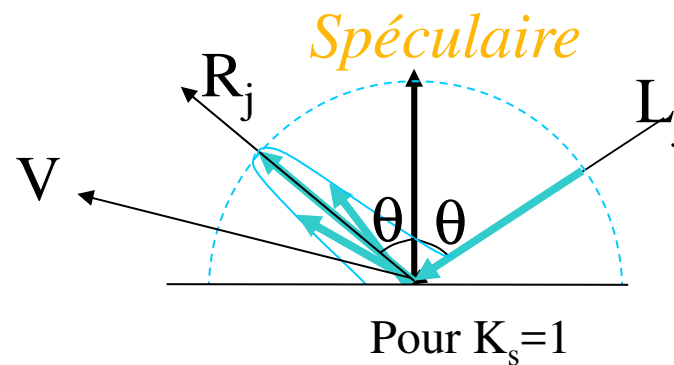
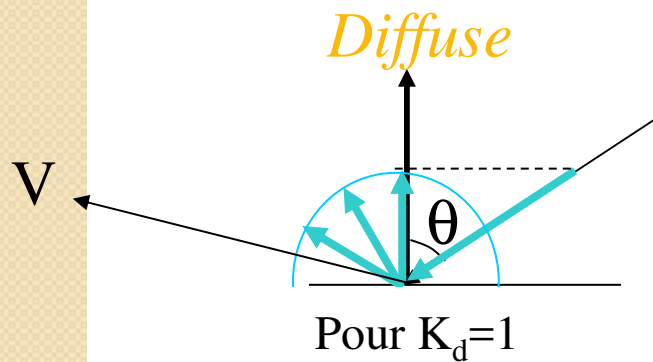
Réflexion spéculaire

spéculaire : relatif au miroir...

ici le reflet de la source de lumière



Pour un observateur dans la direction V

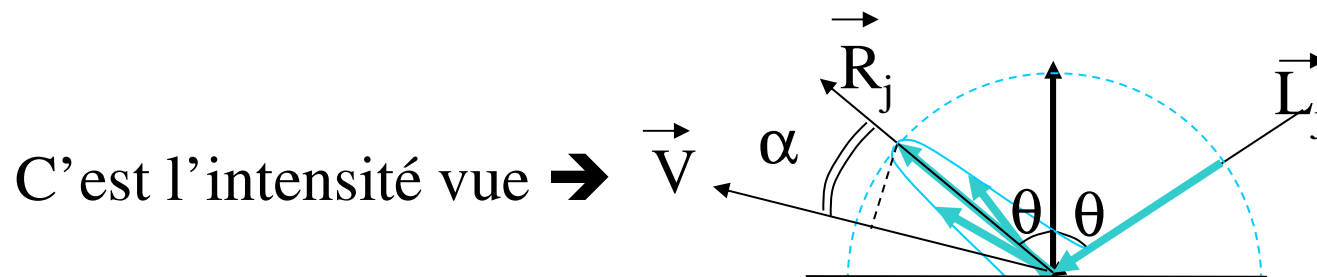
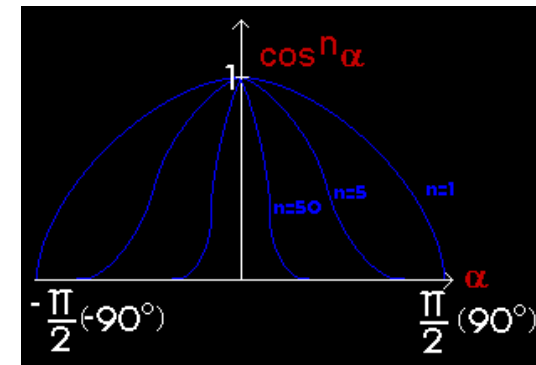


Intensité spéculaire

Phong
$$I_s = \sum_{sources} K_s \langle \vec{R}_j \cdot \vec{V} \rangle^n I_j$$

n dépend du type de matériau

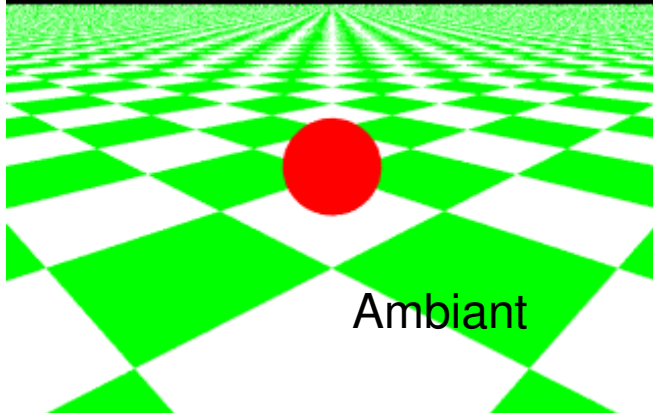
1 : mat, 200 : brillant



$$\vec{R}_j = \vec{L}_j - 2\langle \vec{N}, \vec{L}_j \rangle \vec{N}$$

Pour $K_s=1$

Diffuse la lumière ambiante



Ambiant

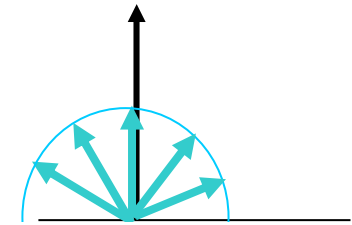
« Radiosité simplifiée »

$$I_i = K_{ai} I_a$$



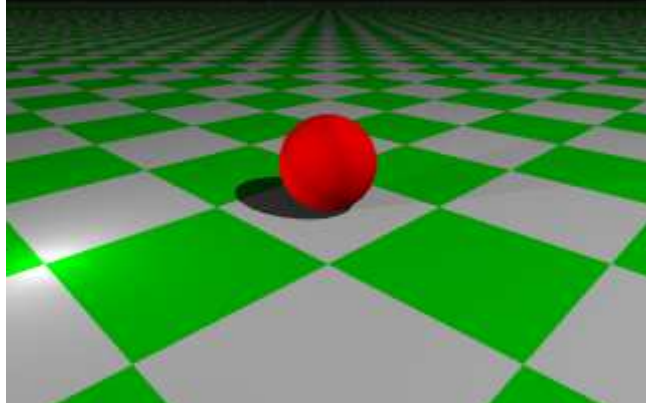
PovRay

Réflexions



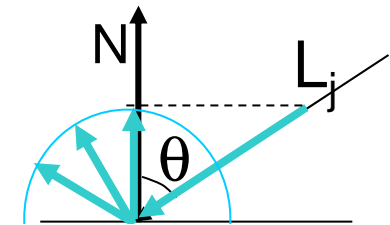
Pour $K_{ai}=1$

Réflexion diffuse



Matériau Mat

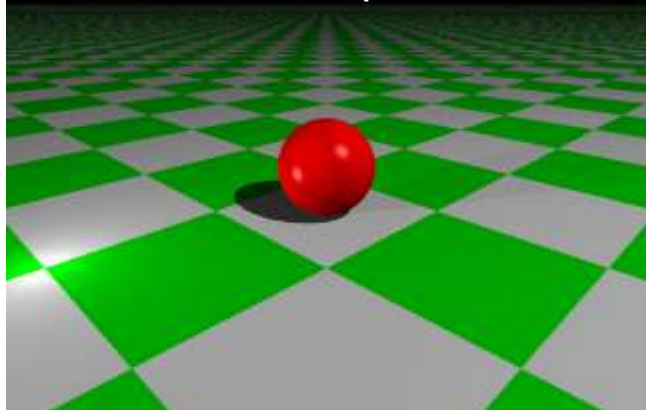
$$I_d = K_d \sum_{sources} (\vec{N} \cdot \vec{L}_j) I_j$$



Pour $K_d=1$

N normale à la surface
L_j rayon de la lumière j

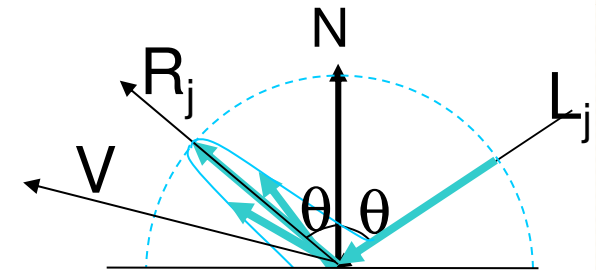
Réflexion spéculaire



Brillant/Lisse

$$I_s = K_s \sum_{sources} \langle \vec{R}_j \cdot \vec{V} \rangle^n I_j$$

$$\vec{R}_j = \vec{L}_j - 2 \langle \vec{N} \cdot \vec{L}_j \rangle \vec{N}$$

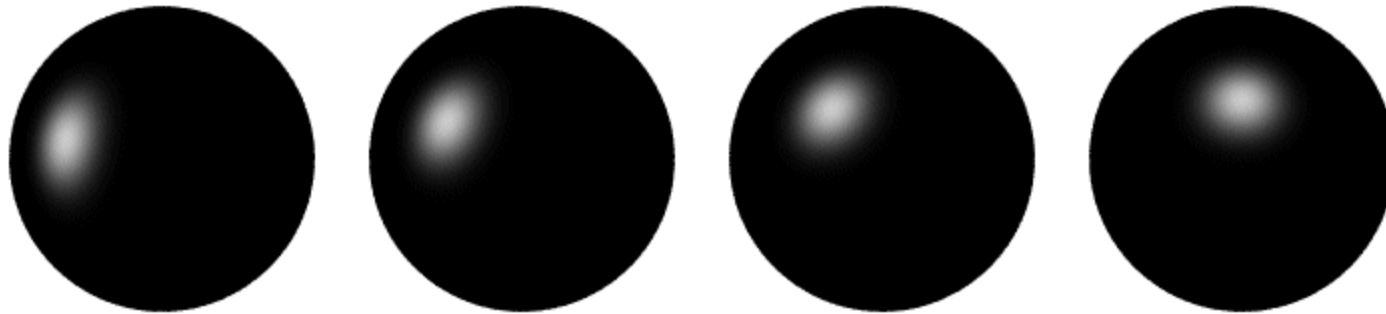


V direction de l'observateur

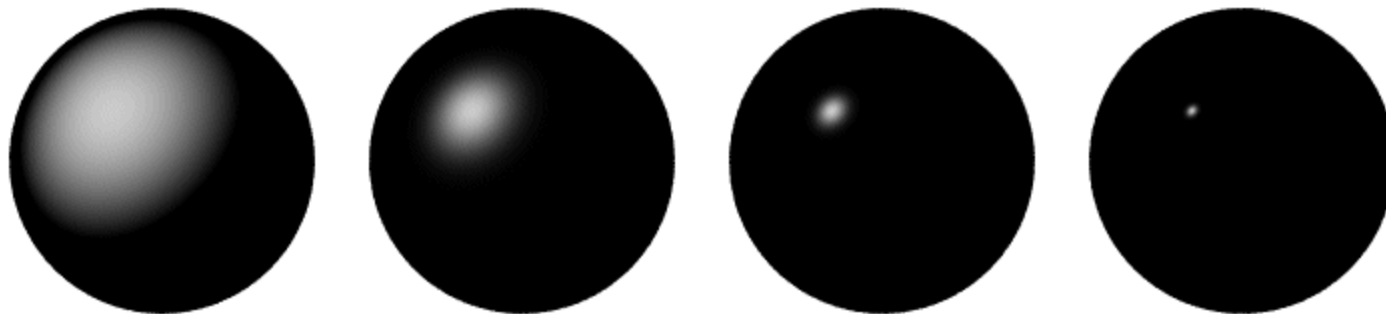
Pour $K_s=1$

Réflexion spéculaire (Modèle de Phong)

$$I_s = K_s \sum_{sources} \langle \vec{R}_j, \vec{V} \rangle^n I_j$$



Si on déplace une source lumineuse ou...



Si on change la brillance (n)



Matériaux

Métal : $K_a = 0.2$, $K_d = 0.7$
 $K_s = 0.75$ $n=80 \dots$



Verre : $K_a = 0$, $K_d = 0$
 $K_s = 1$ $n=400 \dots$



Nuage : $K_a = 0.7$, $K_d = 0$
 $K_s = 0 \dots$



Bois : $K_a = 0.$, $K_d = 0.3$
 $K_s = 0.2$ $n=10 \dots$



Exemple de fichier (.mtl)

```
# Blender MTL File: 'None'
```

```
# Material Count: 2
```

```
newmtl Material
```

```
Ns 96.078431
```

```
Ka 1.000000 1.000000 1.000000
```

```
Kd 0.640000 0.640000 0.640000
```

```
Ks 0.500000 0.500000 0.500000
```

```
Ke 0.000000 0.000000 0.000000
```

```
Ni 1.000000
```

```
d 1.000000
```

```
illum 2
```

```
newmtl Material.001
```

```
Ns 96.078431
```

```
Ka 1.000000 1.000000 1.000000
```

```
Kd 0.640000 0.640000 0.640000
```

```
Ks 0.500000 0.500000 0.500000
```

```
Ke 0.000000 0.000000 0.000000
```

```
Ni 1.000000
```

```
d 1.000000
```

```
illum 2
```

```
map_Kd icon.png
```

Le "#" spécifie une ligne de commentaires

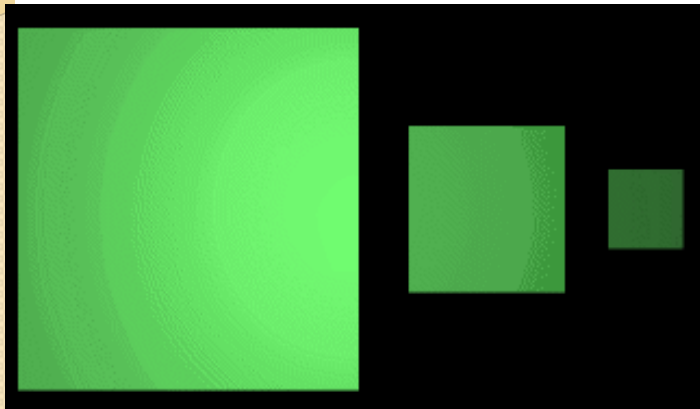
https://fr.wikipedia.org/wiki/Material_Template_Library



I.4. Milieu traversé : atténuation



Atténuation des sources lumineuses



Effet du milieu traversé

$$I_{att} = f_{att} I_d$$

~~$$f_{att} = \frac{1}{D_l^2}$$~~

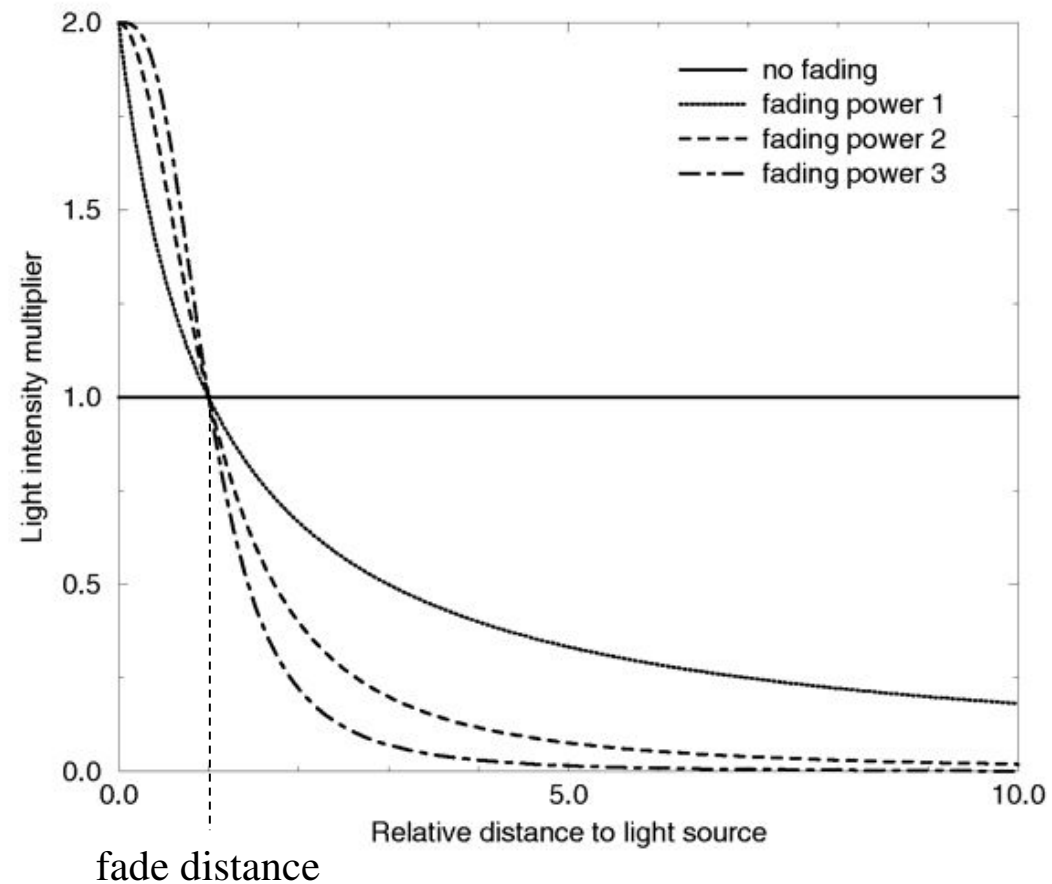
$$f_{att} = \min \left(\frac{1}{c_1 + c_2 D_l + c_3 D_l^2}, 1 \right)$$

D_l : distance à la source de lumière

Atténuation (light fading)



$$attenuation = \frac{2}{1 + \left(\frac{d}{fadeXdistance}\right)^{fadeXpower}}$$



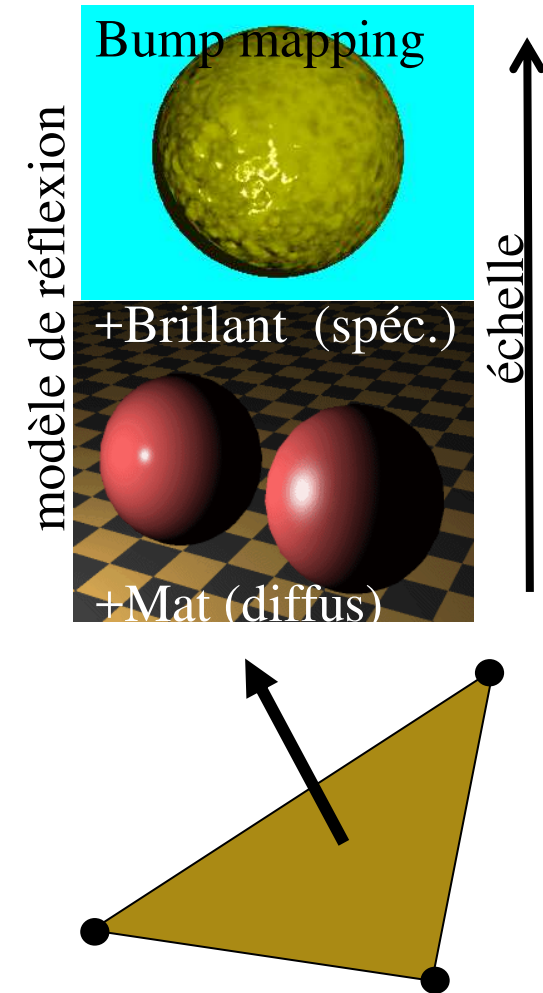


°

2. INSUFFISANCES DU MODÈLE GÉOMÉTRIQUE

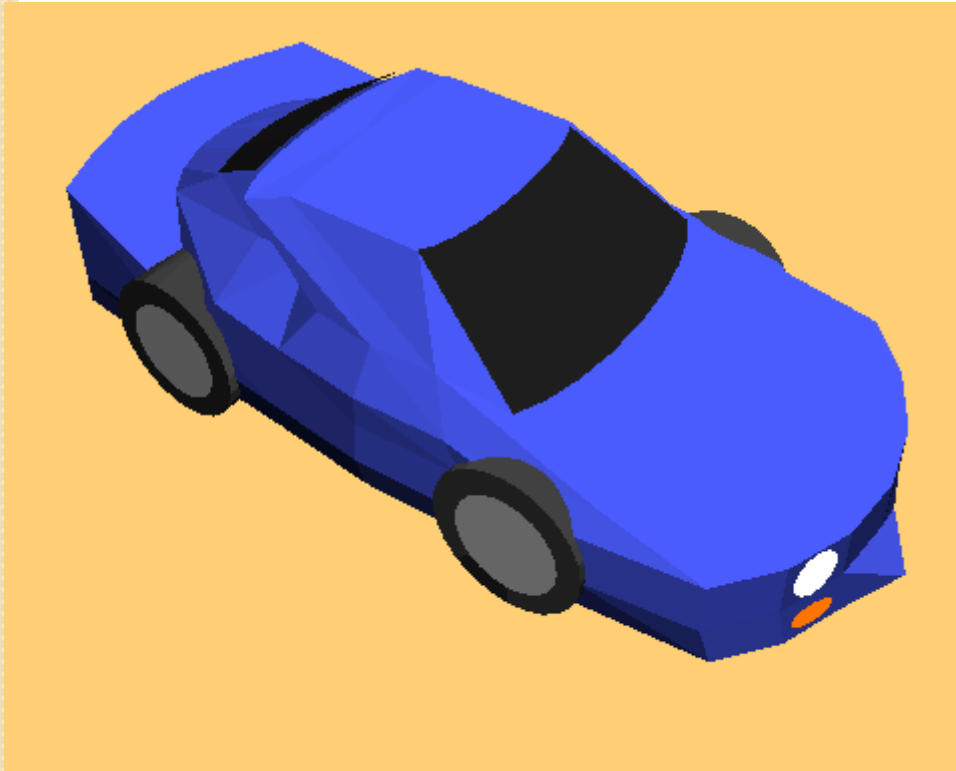
2. Insuffisances du modèle géométrique

- Géométrie de la surface :
 - Le « Bump Mapping »
 - réflexion diffuse/spéculaire
- Géométrie dégradée (Jeux vidéo...)
 - « shading » : flat, Gouraud, Phong

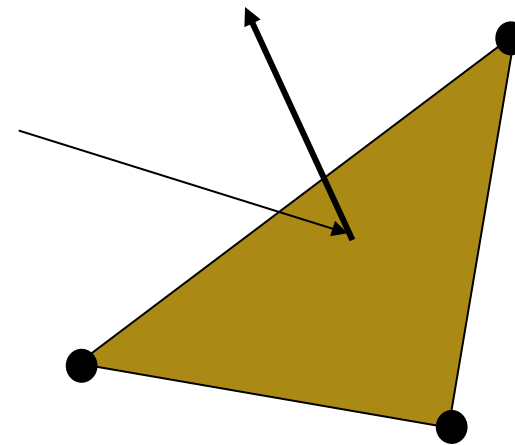


2.1. Affichage : « ombrage » plat (Flat shading)

- Intensité uniforme



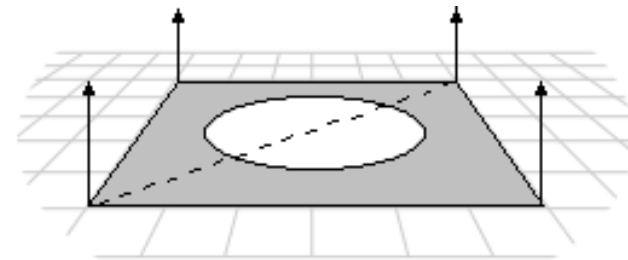
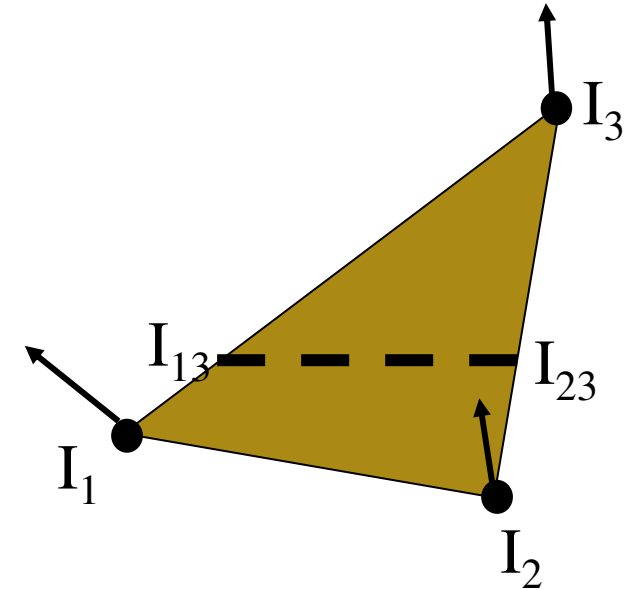
réflexion diffuse



couleur uniforme
sur chaque facette

2.2. Ombrage de Gouraud

- Principe
 - interpolation des intensités
- Algorithme
 - calcul des normales des facettes
 - calcul des normales aux sommets
 - intensité lumineuse des sommets
 - interpolation des intensités
- Inconvénients
 - polygones convexes
 - pas de surfaces brillantes
 - dépend de l'orientation



Exemple : Flat vs Gouraud



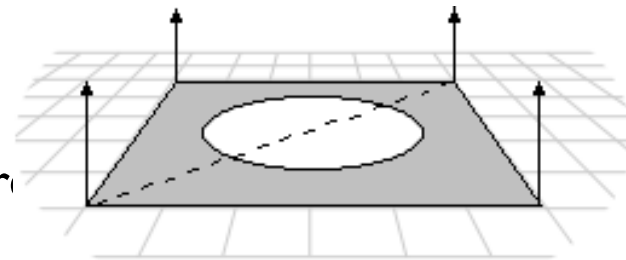
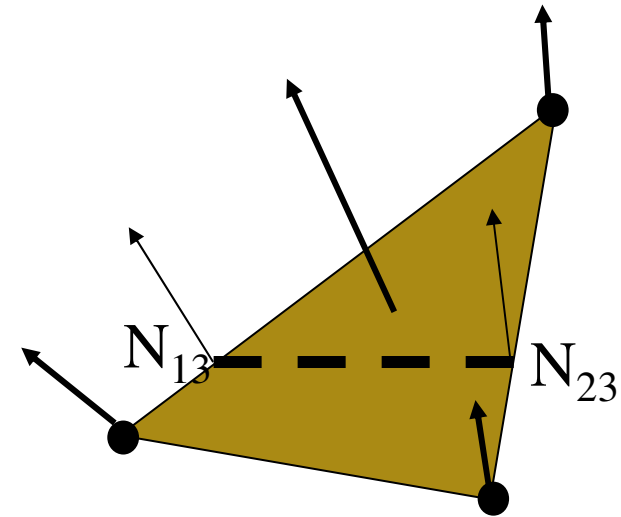
Flat shading



Gouraud (interpolated) shading

2.3. Ombrage de Phong

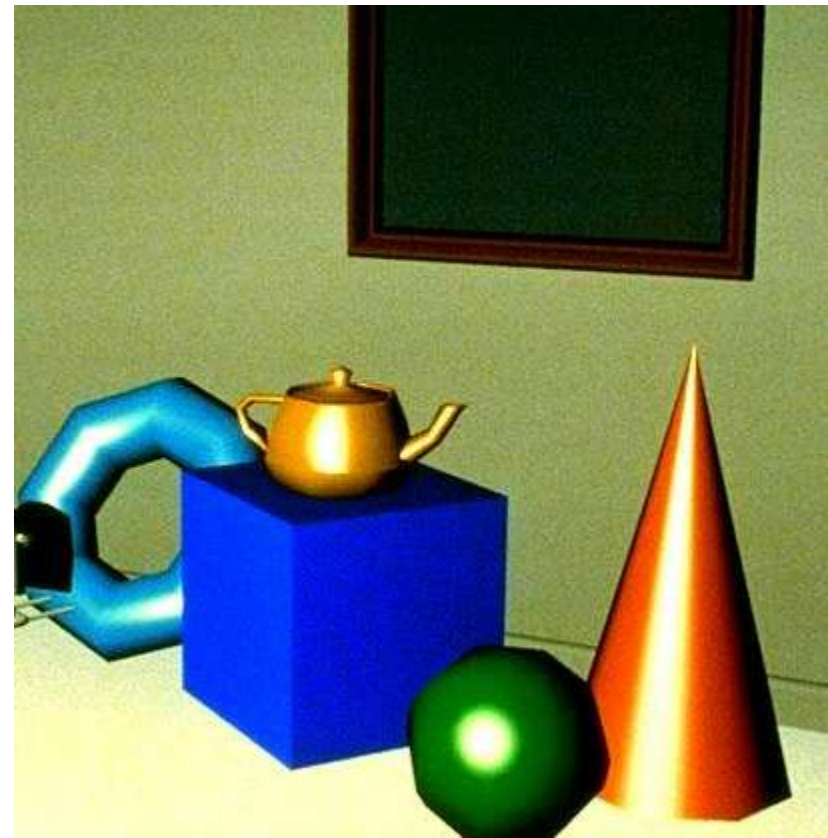
- Principe
 - Interpolation des normales
- Algorithme
 - calculer les normales aux polygones
 - calculer les *normales* aux sommets
 - calculer les *normales* de tous les points
 - calculer l'intensité lumineuse en tous les points
- **Avantage** : permet de « capturer » reflets (dans le cas d'un modèle spéculaire)



Exemple : Gouraud vs Phong

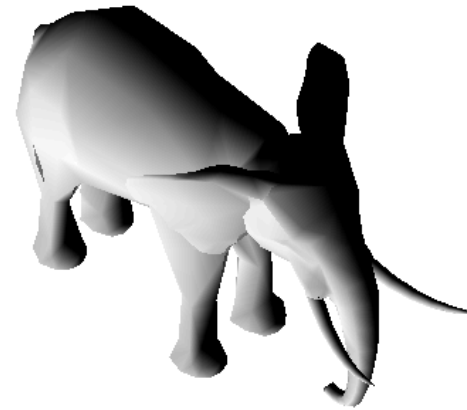
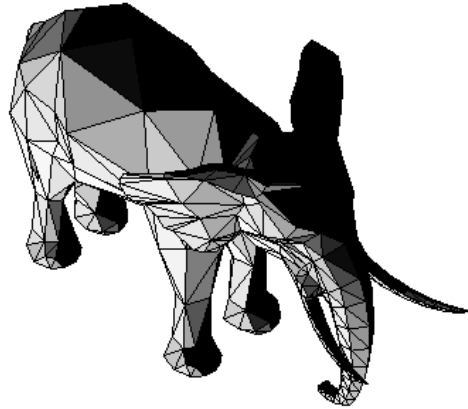


Gouraud



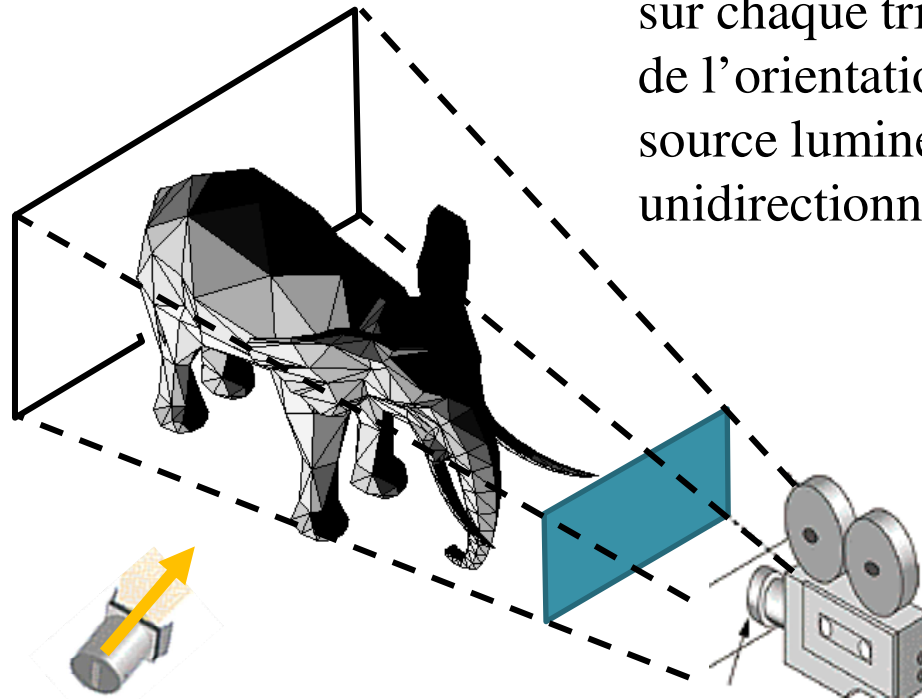
Phong

EXEMPLE : Utilisation des normales pour l'éclairage directionnel



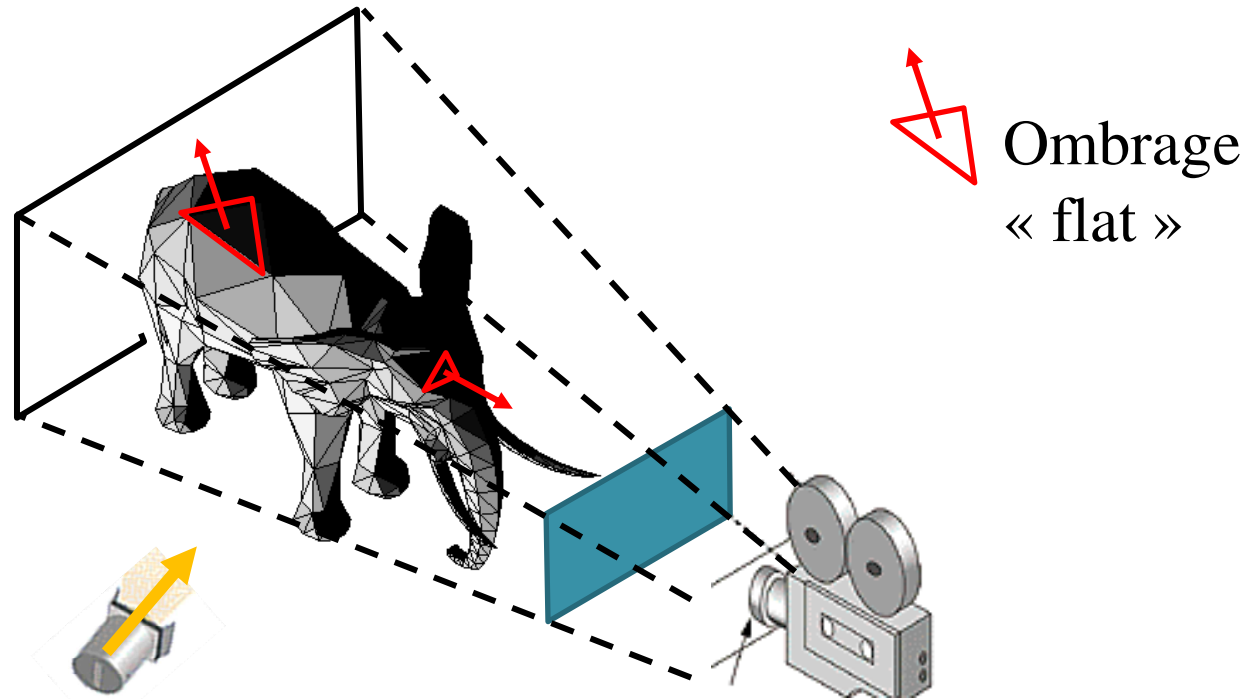
Le « flat shading »

Le flat shading est un modèle d'éclairage d'une surface triangulée qui donne l'intensité sur chaque triangle en fonction de l'orientation relative d'une source lumineuse unidirectionnelle (ex: le soleil).



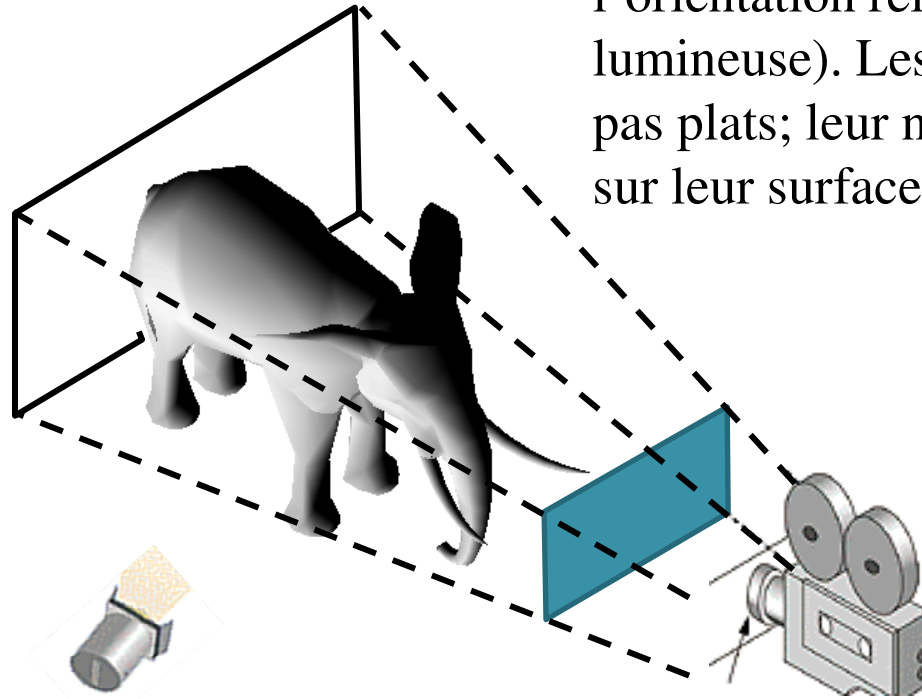
Le « flat shading »

$$I = \min(0, -\vec{V}_{lum} \cdot \vec{N})$$



Le « Smooth shading »

Le smooth shading calcule l'intensité en chaque point des triangles (en fonction de l'orientation relative d'une source lumineuse). Les triangles ne sont pas plats; leur normale peut varier sur leur surface.



Le « Smooth shading »

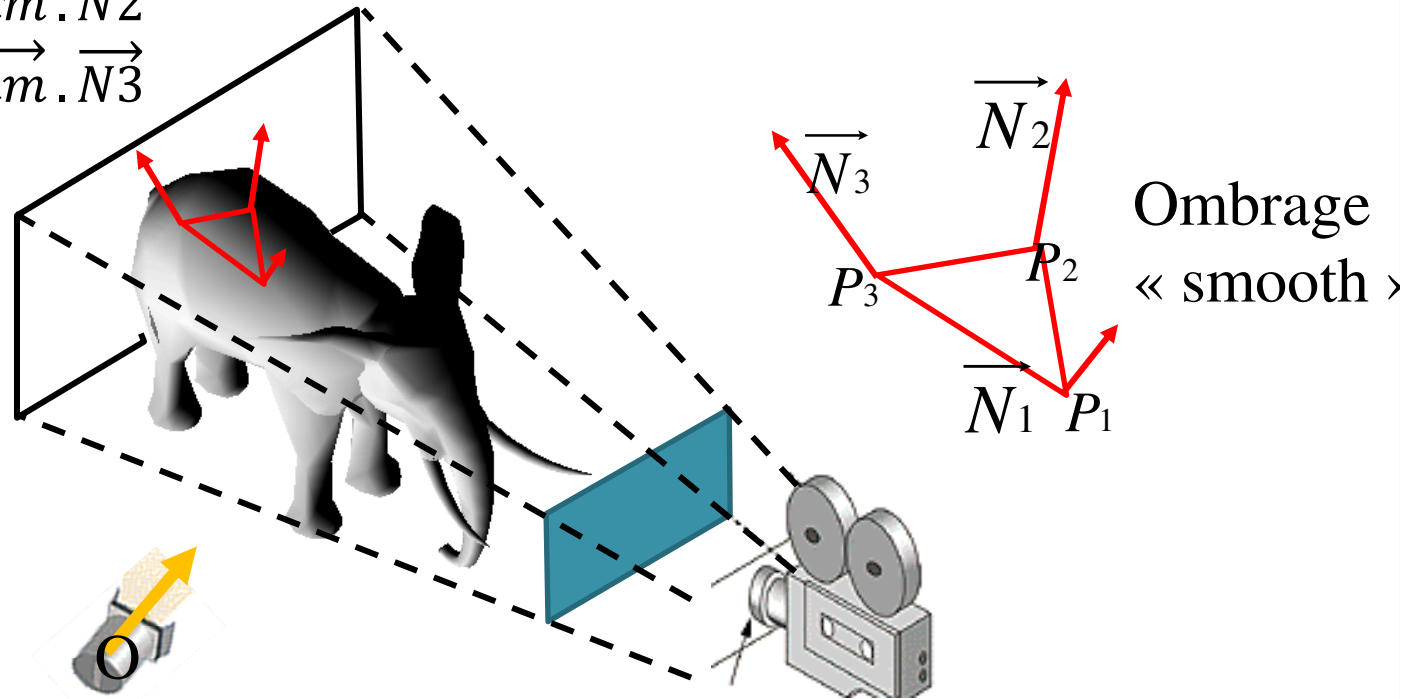
Gouraud

$$I_1 = -\overrightarrow{Vlum} \cdot \overrightarrow{N_1}$$

$$I_2 = -\overrightarrow{Vlum} \cdot \overrightarrow{N_2}$$

$$I_3 = -\overrightarrow{Vlum} \cdot \overrightarrow{N_3}$$

$$I(u,v) = (1-u-v)*I_1 + u*I_2 + v*I_3$$

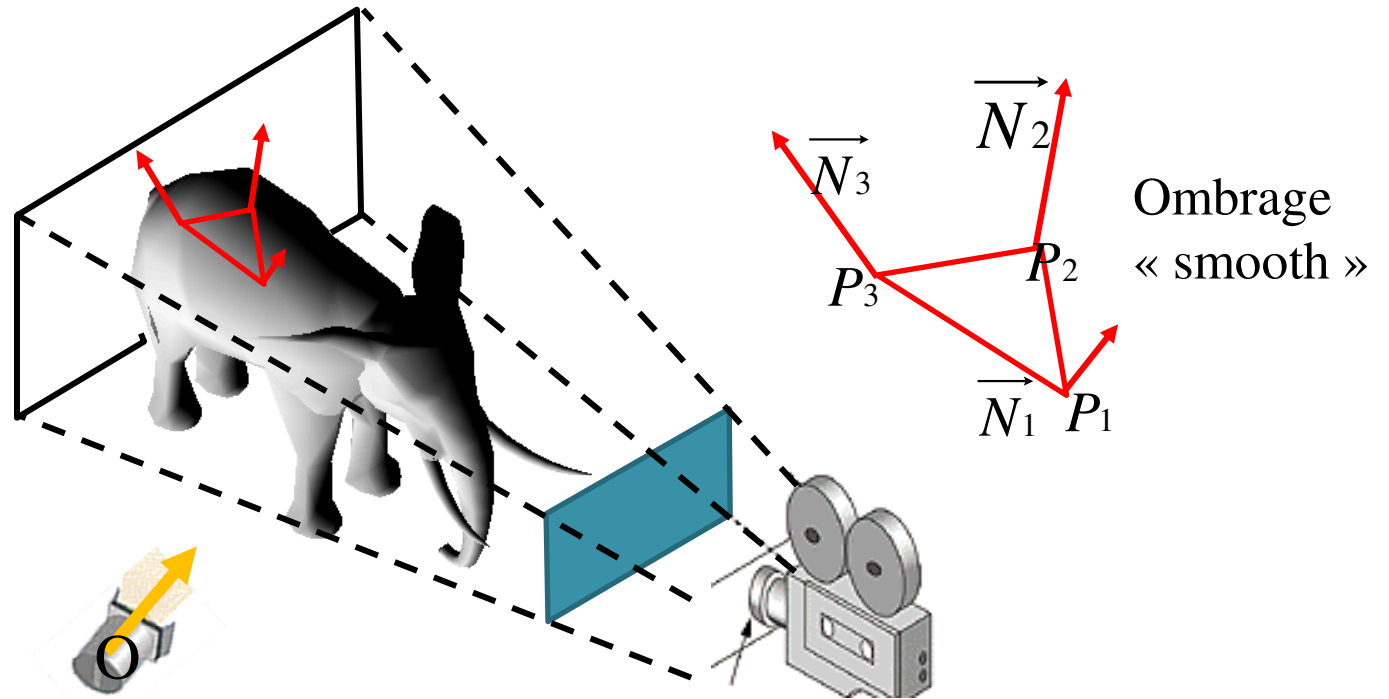


Le « Smooth shading »

Phong

$$\vec{N}(u, v) = (1-u-v) * \vec{N}_1 + u * \vec{N}_2 + v * \vec{N}_3$$

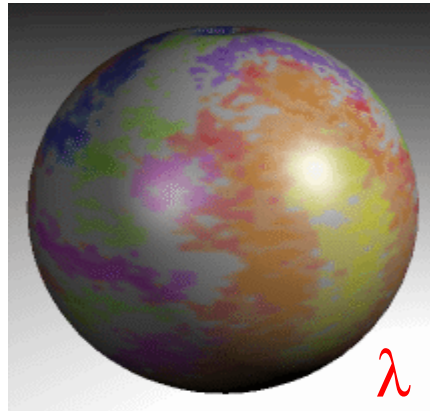
$$I(u, v) = -\vec{V}_{lum} \cdot \vec{N}(u, v)$$



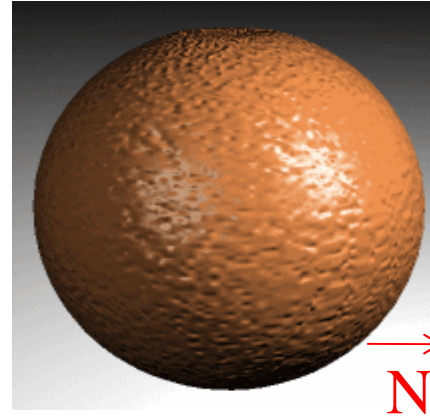


3. TEXTURES

3. Les textures



Color mapping



Bump mapping



Motif unique



Motif répété

Perturbateurs :
aléas...

SKIP

Exemple



pigments

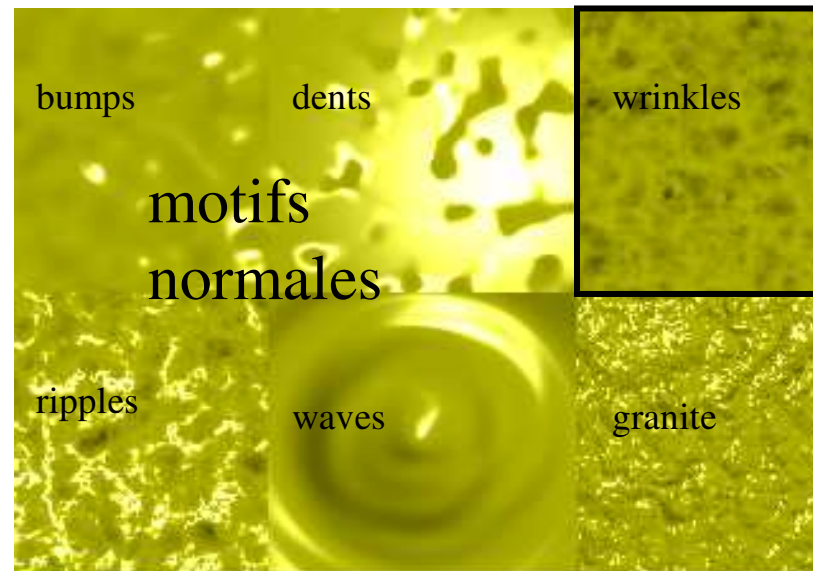
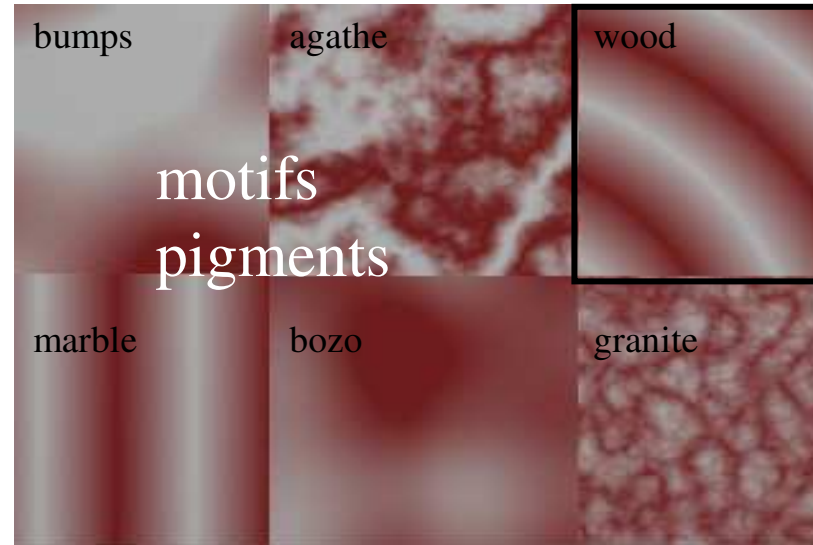


Répétition, taille, aléas...

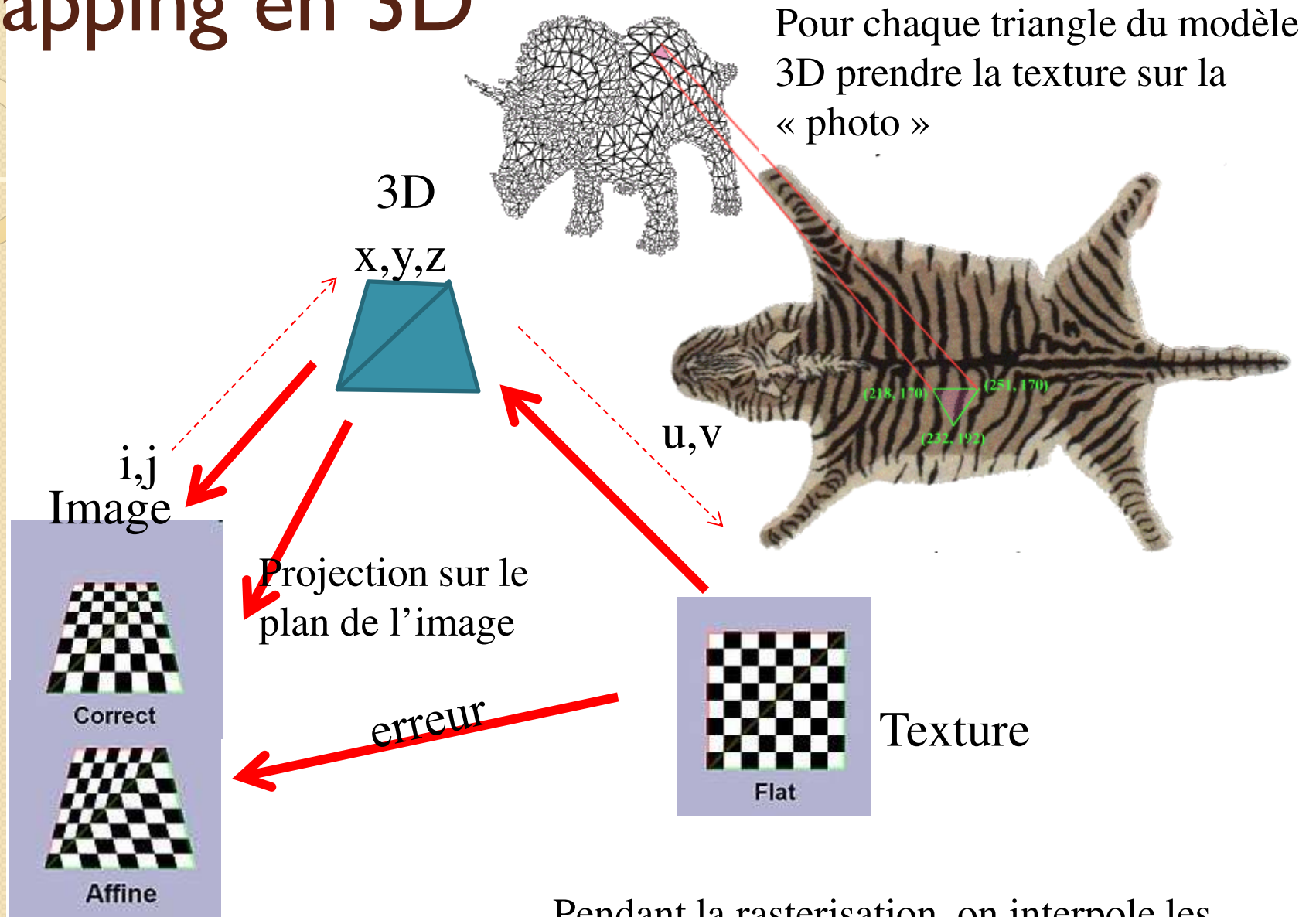
normales



Surface
échelle
méso

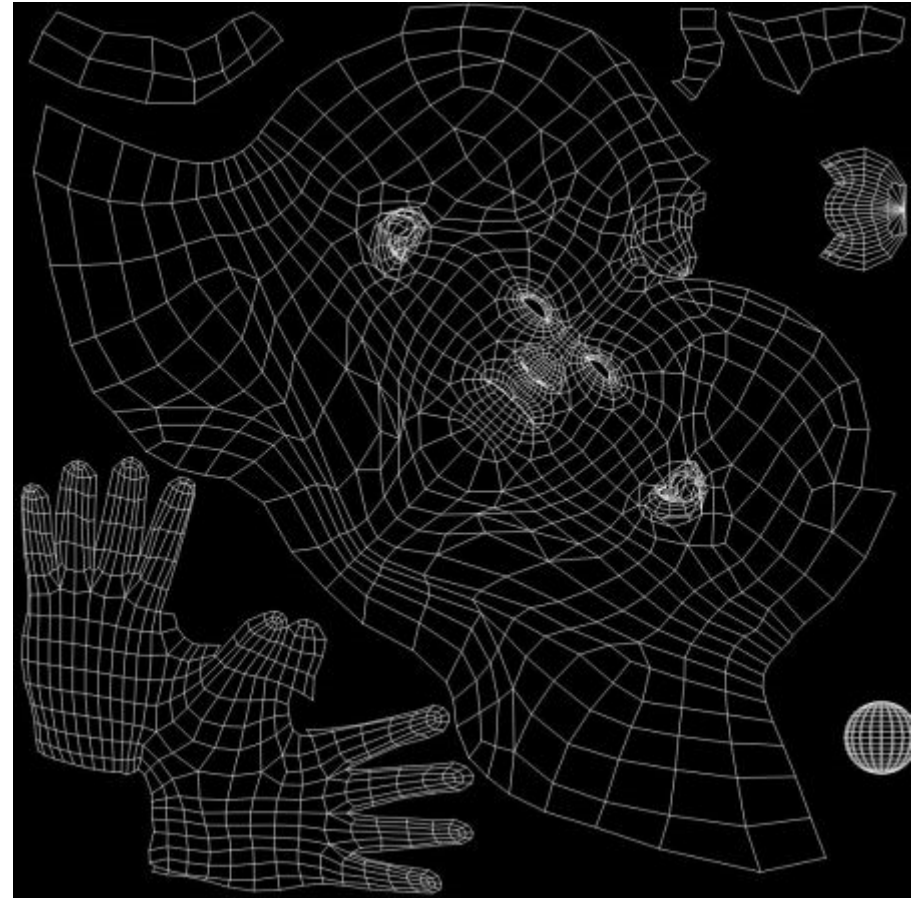


Mapping en 3D

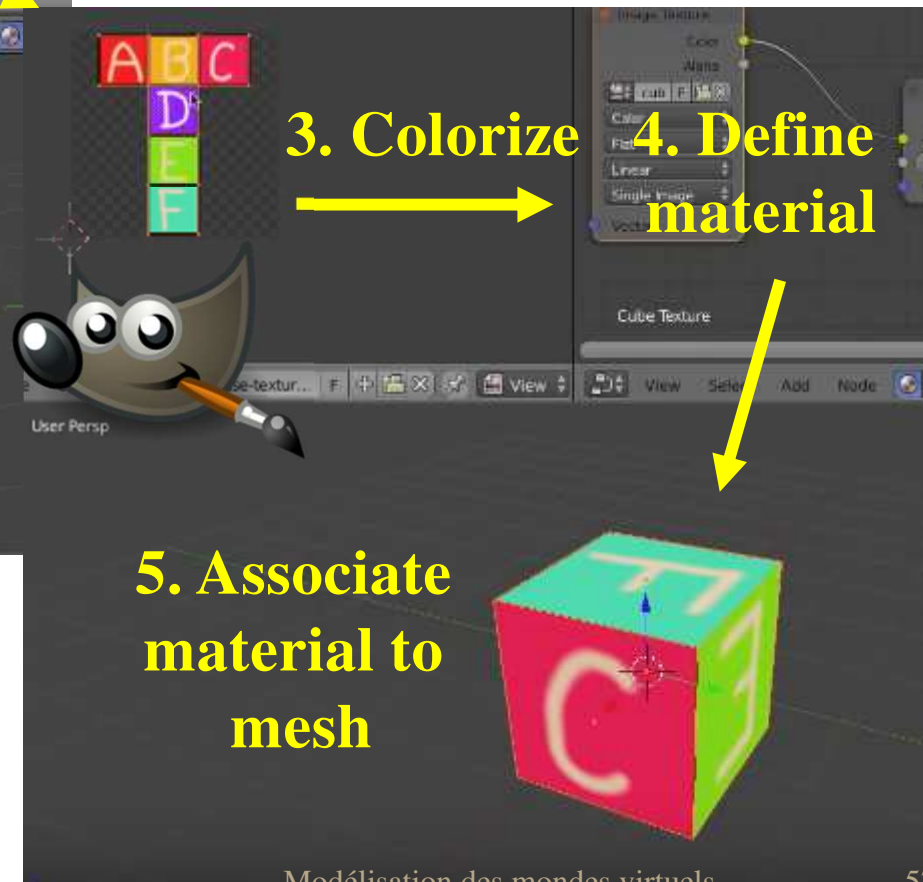


Pendant la rasterisation, on interpole les coordonnées sur la carte de texture

Texture : pigment mapping



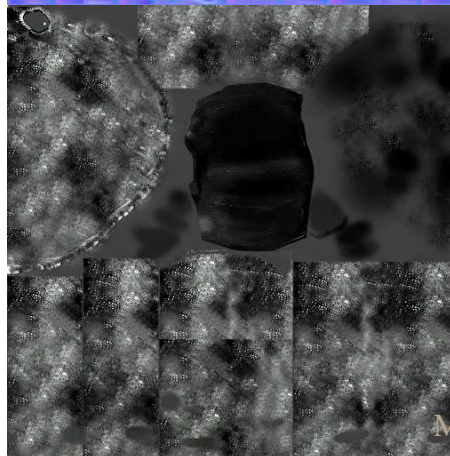
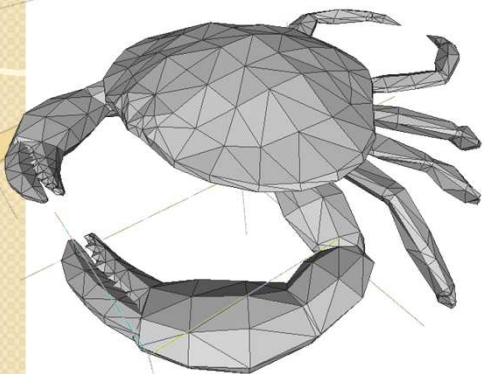
Texture, dans la pratique...



Blender 2.7 Tutorial #13 :
UV Mapping (Unwrapping for Image Textures)

BornCG 2014

Exemple m



Crab_material
Shader Standard

Rendering Mode: Opaque

Main Maps

- Albedo
- Metallic
- Smoothness: 0.5
- Source: Metallic Alpha
- Normal Map
- Height Map
- Occlusion
- Detail Mask

Emission:

Tiling: X 1 Y 1
Offset: X 0 Y 0

Secondary Maps

- Detail Albedo x
- Normal Map

Tiling: X 1 Y 1
Offset: X 0 Y 0

UV Set: UV0

Forward Rendering Options

- Specular Highlights:
- Reflections:

Advanced Options

- Enable GPU Instancing:
- Double Sided Global:

Pour aller plus loin...

- Chap « Illumination and Shading »
 - Computer Graphics – Foley, Van Dam...Addison Wesley
- Édition de texture

[Blender 2.7 Tutorial #13 :
UV Mapping \(Unwrapping for Image Textures\)](#)

- PovRay

<https://people.minesparis.psl.eu/olivier.stab/SIRV/>



- Unity, (Brackeys) :

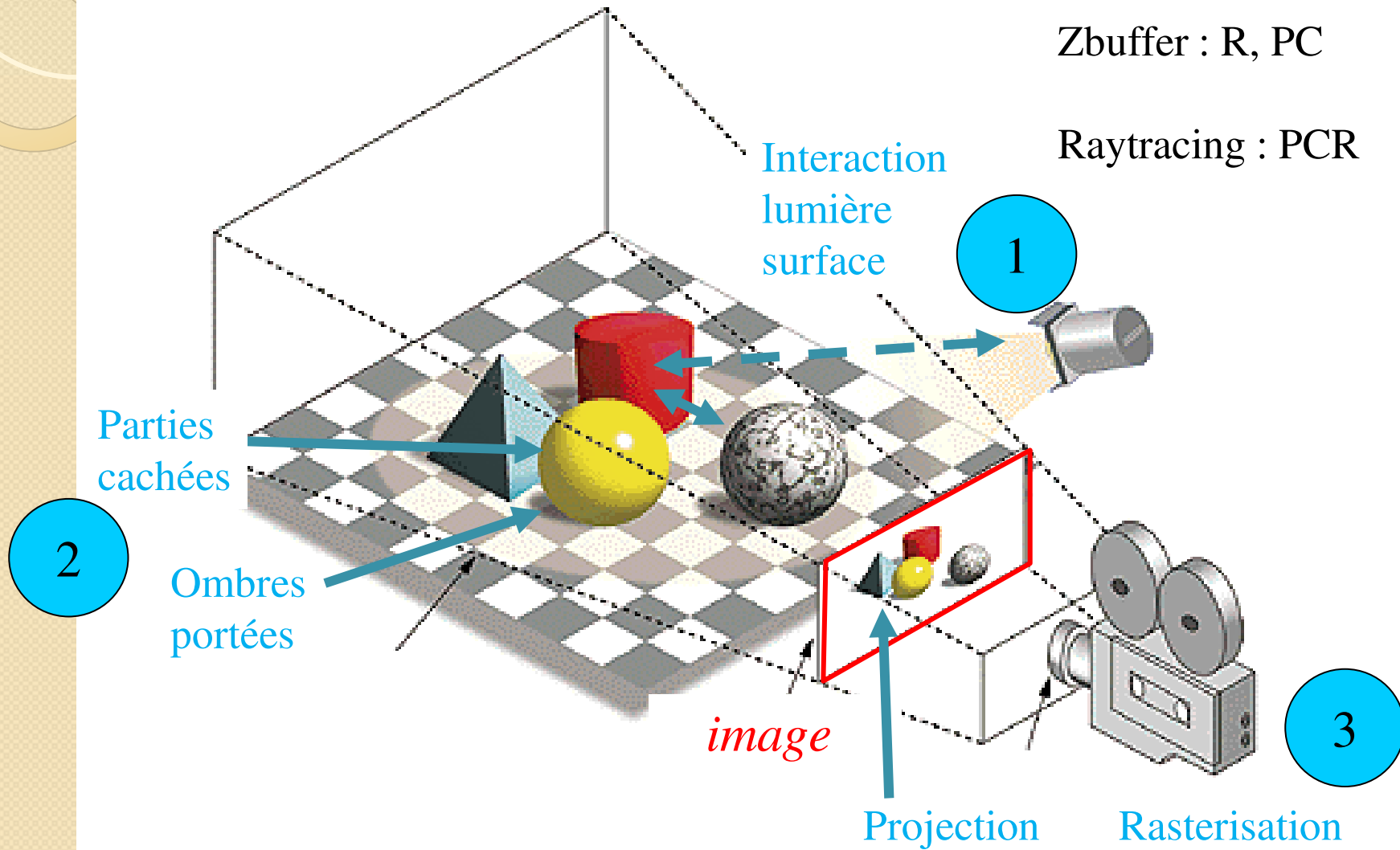
- [Lighting in Unity,](#)
- [RealTime Lighting in Unity](#)





4. RAY TRACING & PC

L'image

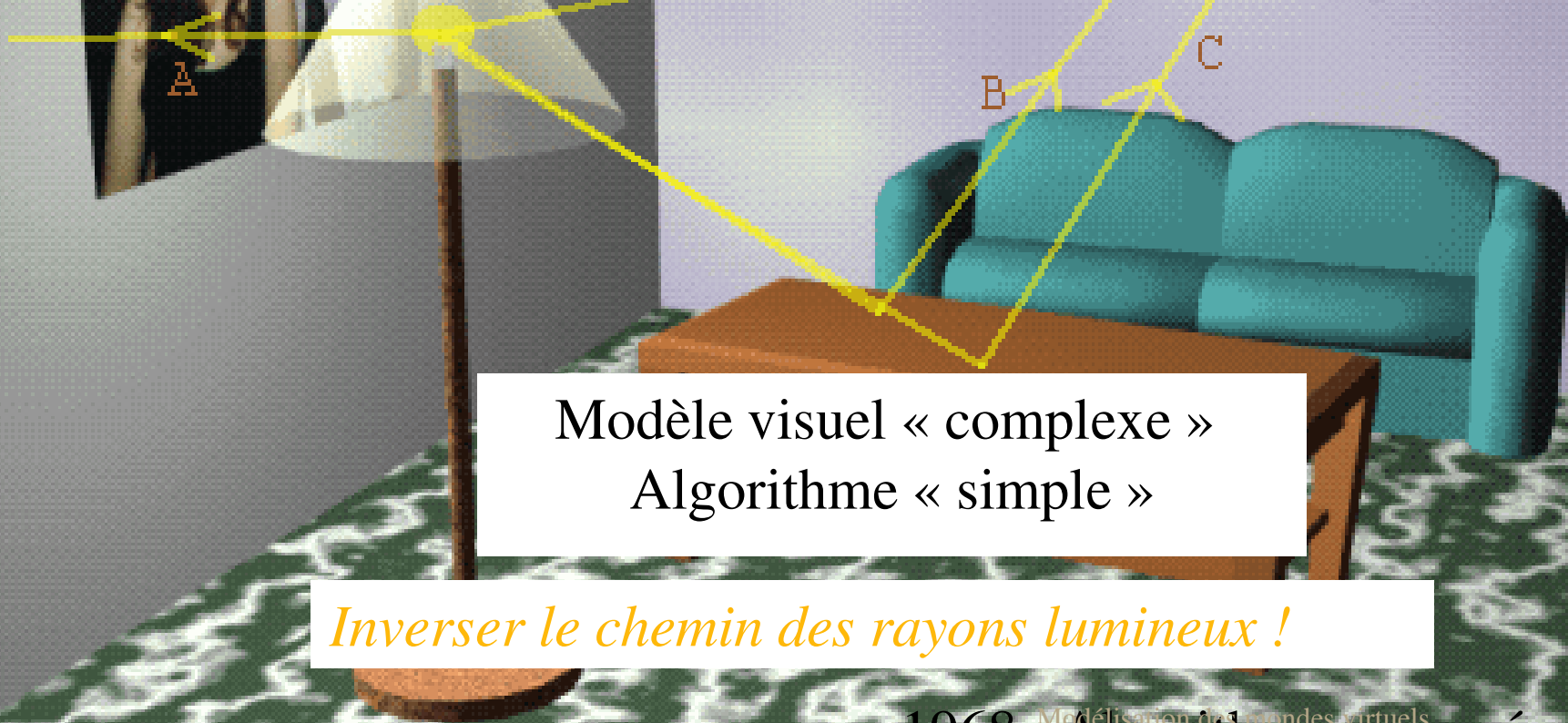
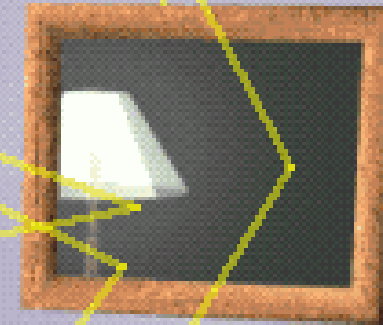


A.Peintre : PC, R

Zbuffer : R, PC

Raytracing : PCR

Lancé de rayons

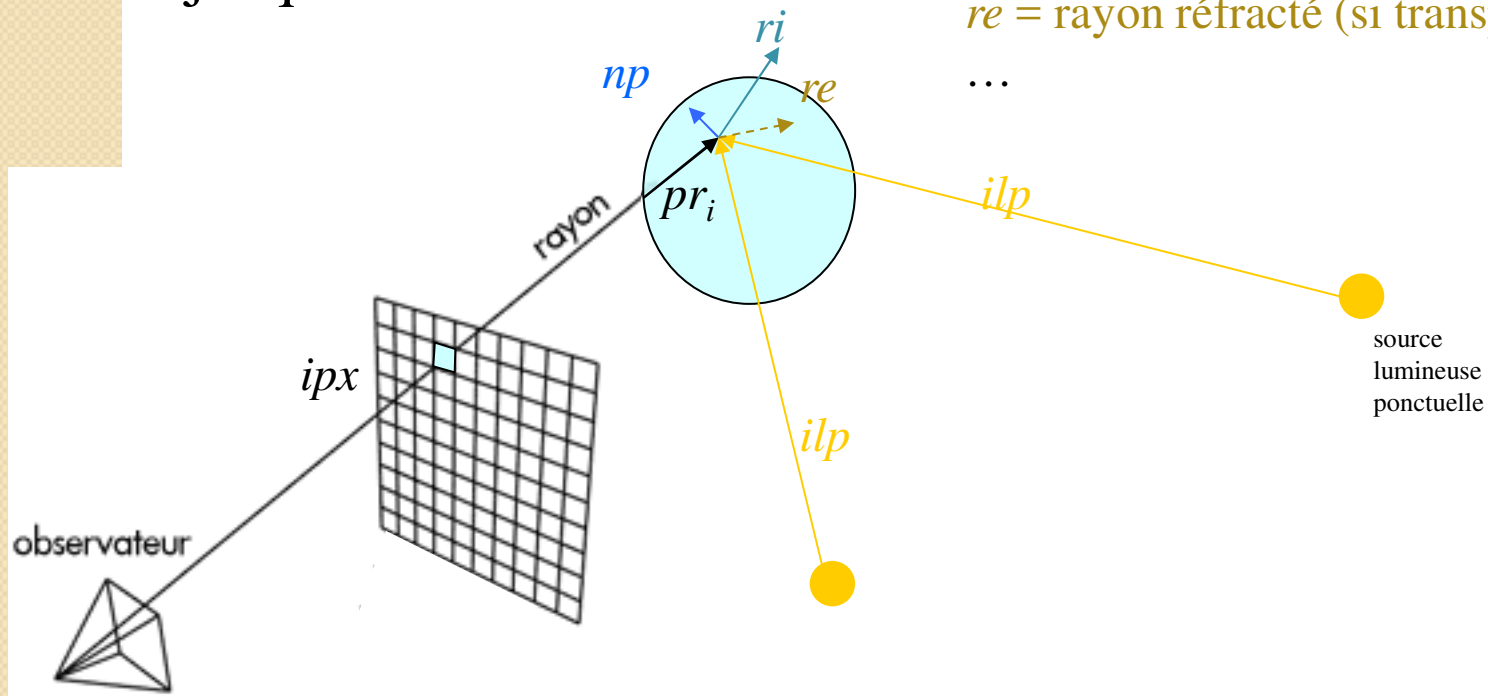


Modèle visuel « complexe »
Algorithme « simple »

Inverser le chemin des rayons lumineux !

Lancé de rayon (Ray tracing)

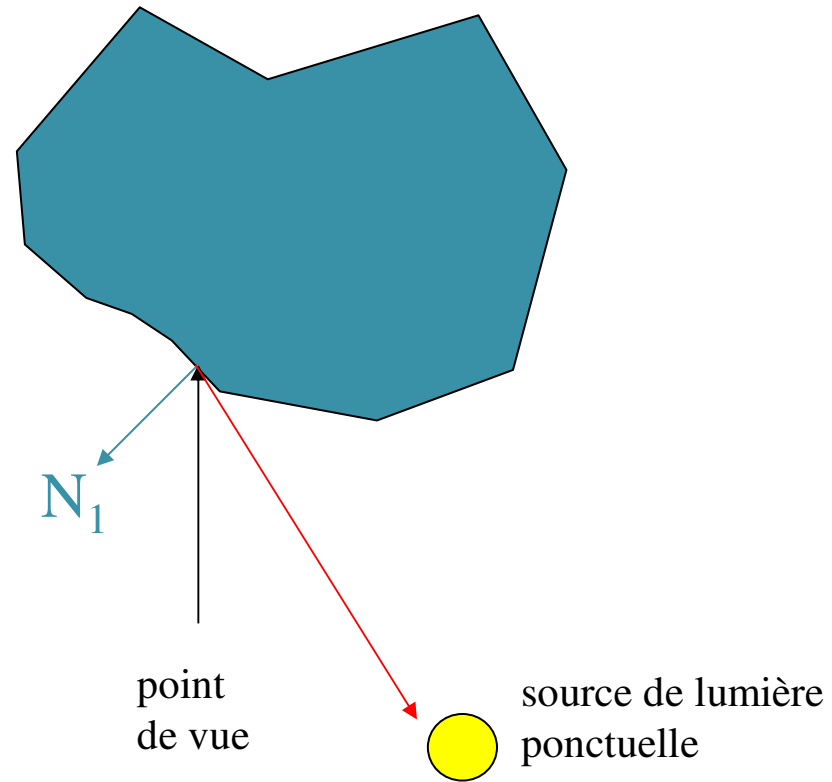
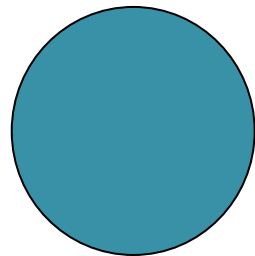
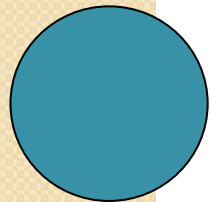
Principe : modéliser le trajet
des rayons de la lumière
jusqu'à l'oeil



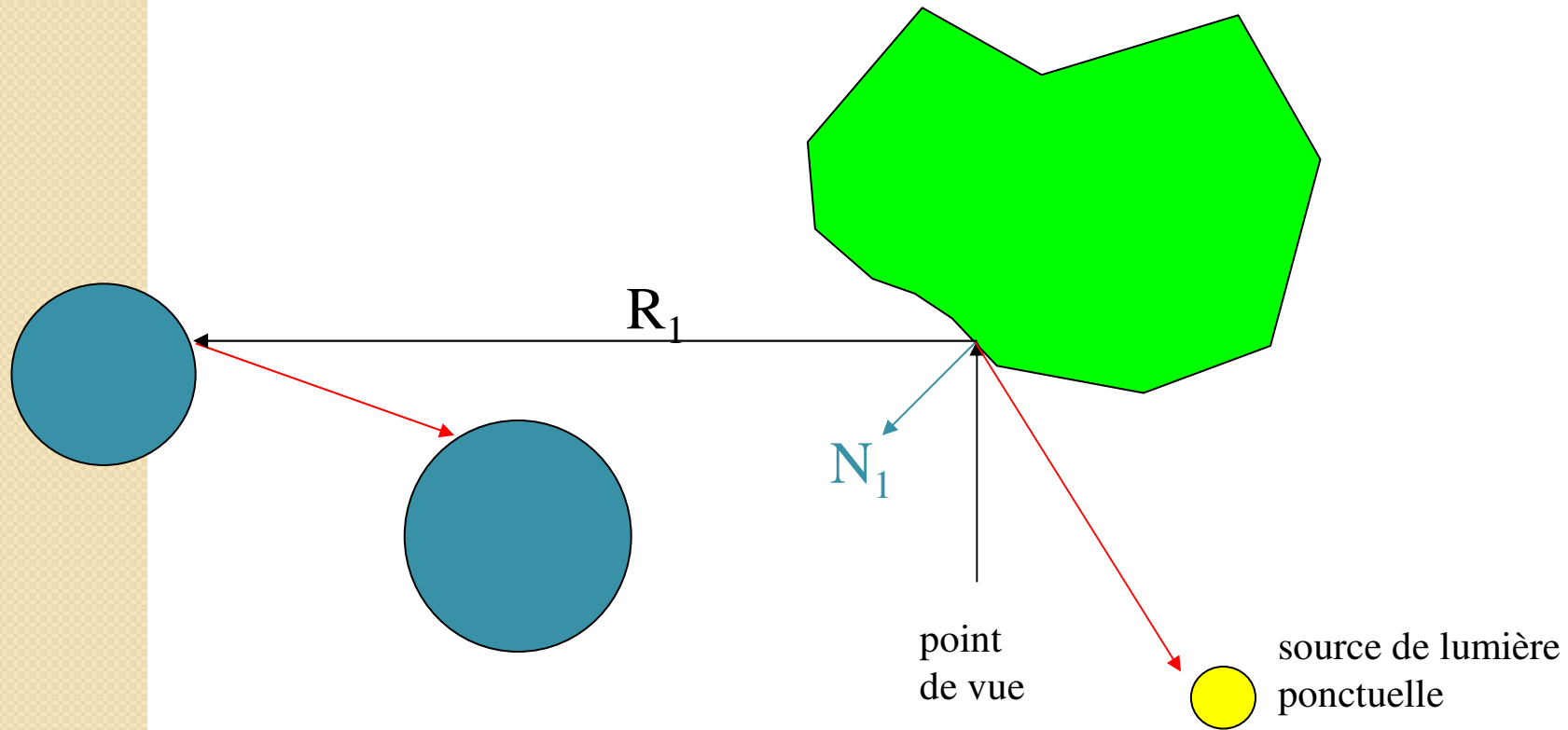
ipx = intensité lumineuse du pixel
 r = lancé d'un rayon partant de ipx
 pr_i = intersection de r avec la géométrie
 np = normale en pr_i
 ilp = éclairage de la surface en pr_i
 ri = rayon réfléchi en pr_i (si miroir)
 re = rayon réfracté (si transparence)

...

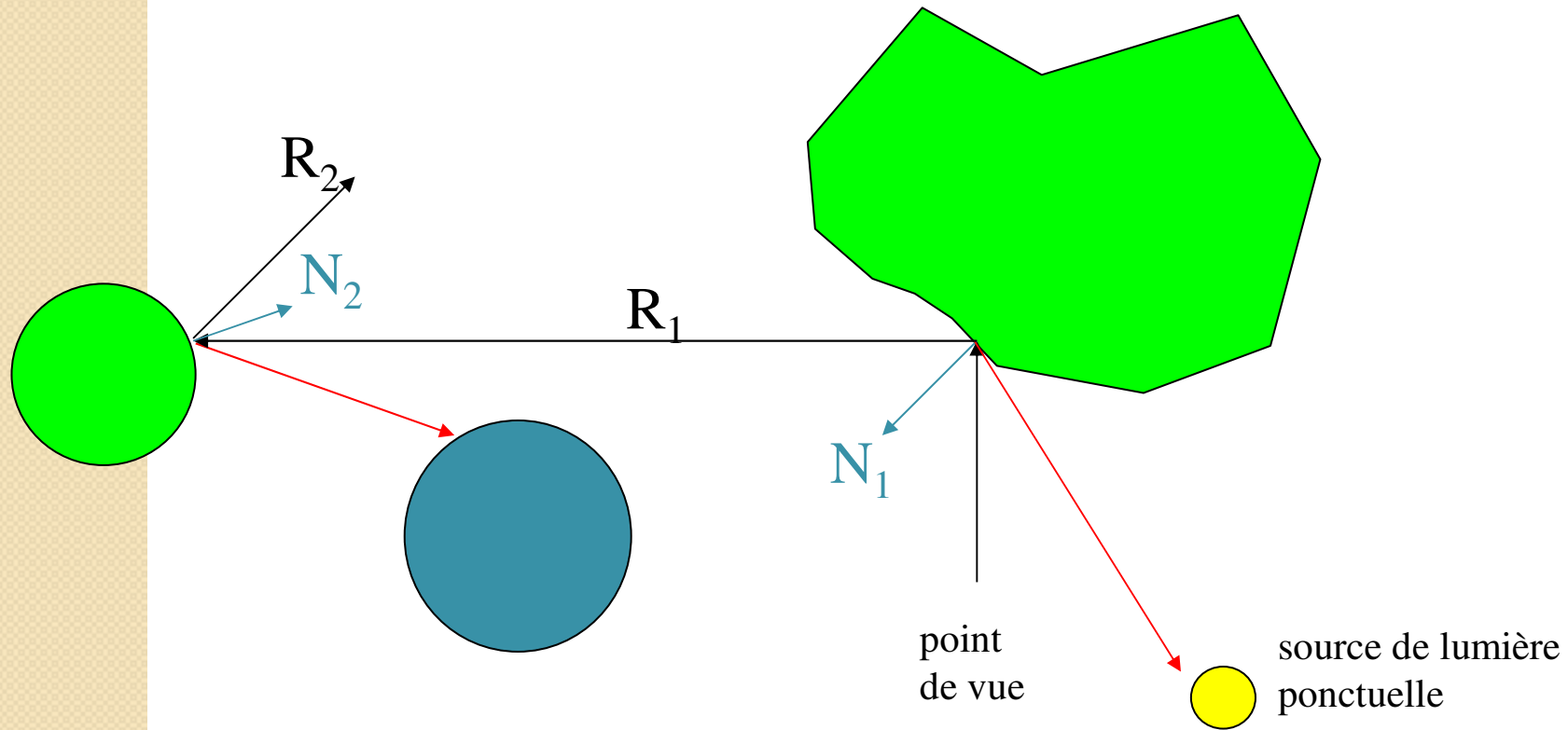
Principe : lancé de rayon



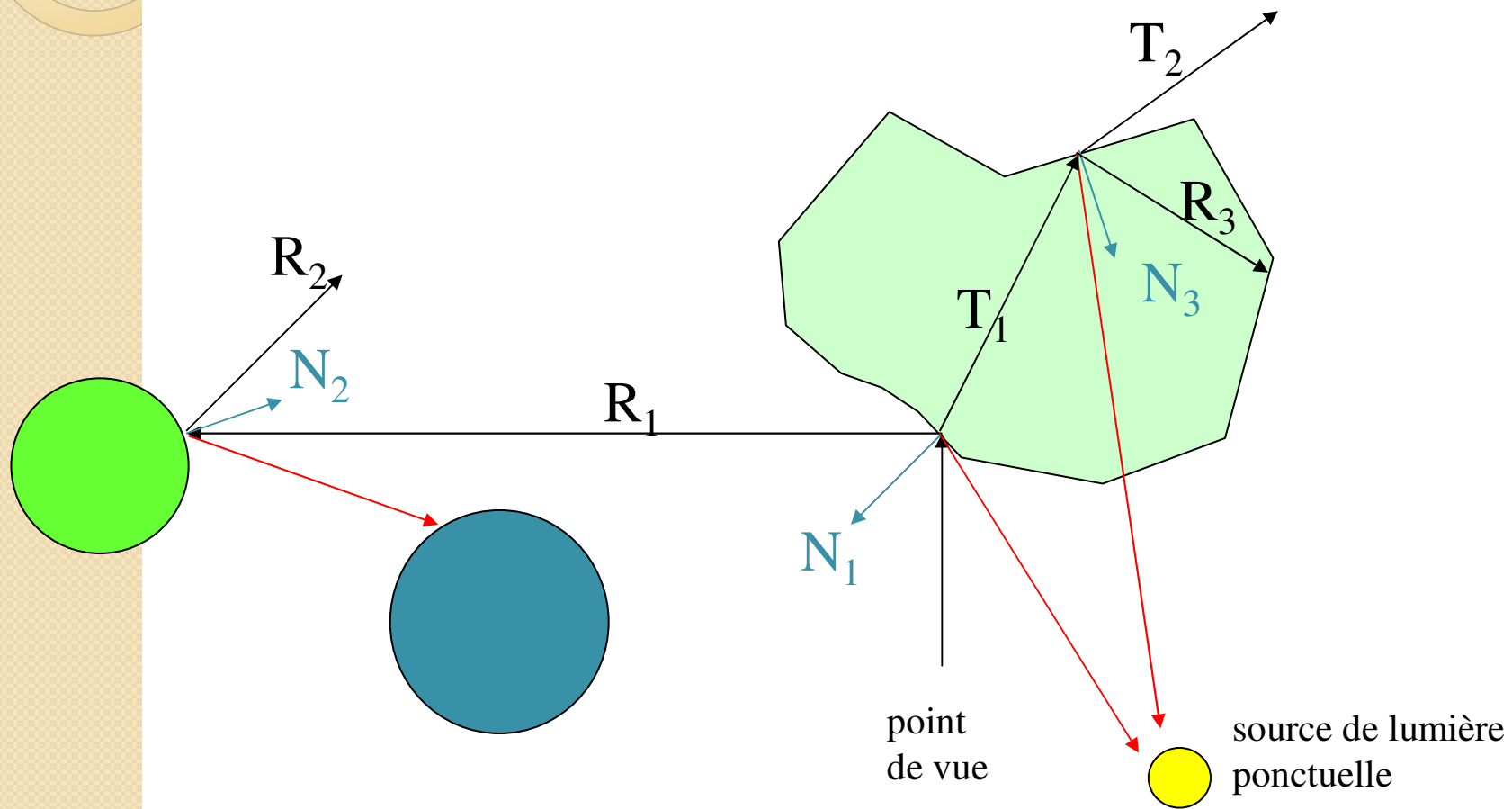
Principe : lancé de rayon



Principe : lancé de rayon



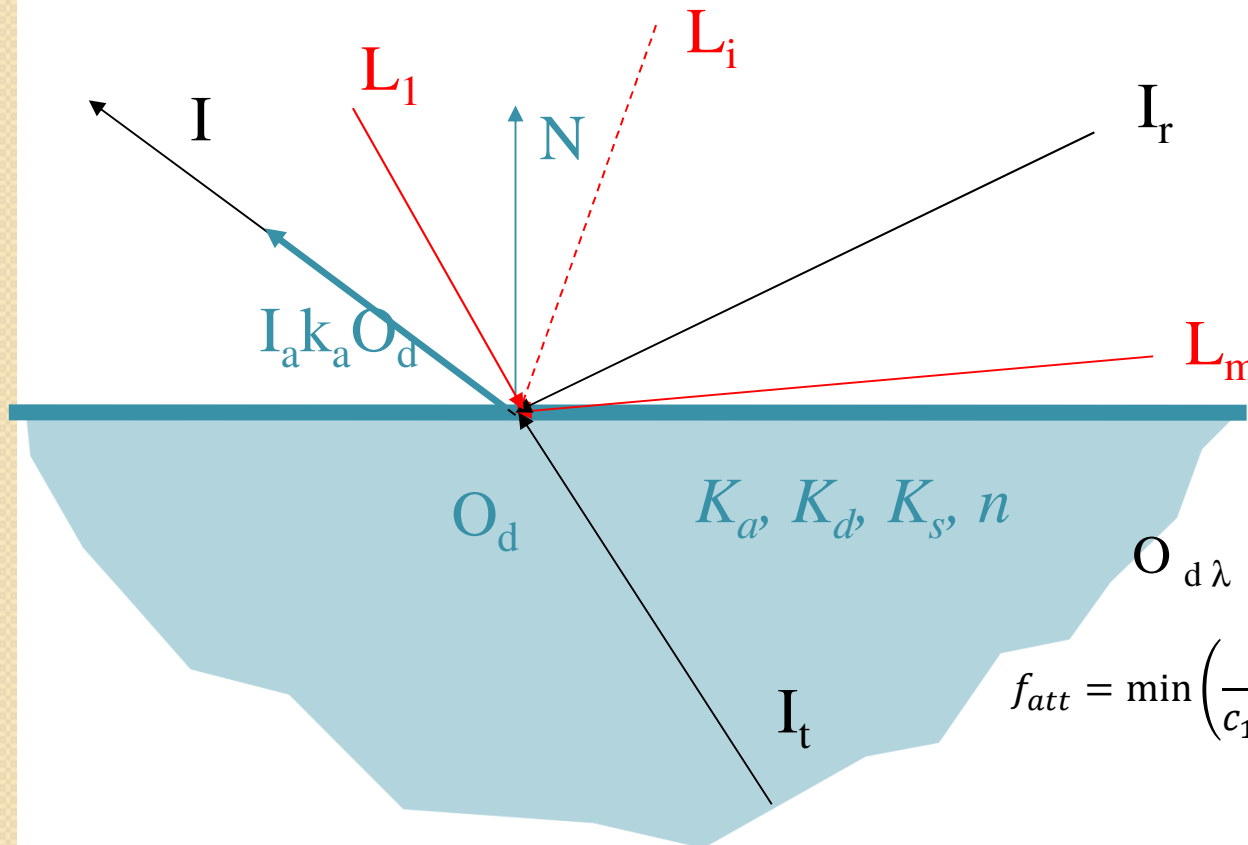
Principe : lancé de rayon



Définition récursive → lancé de rayons

$$I_\lambda = \boxed{I_{a\lambda} K_a O_{d\lambda}} + \sum_{i=1}^m \overset{\text{sources}}{S_i} f_{att_i} I_{p\lambda i} \left[\boxed{K_{di} O_{d\lambda} (\vec{N} \cdot \vec{L}_i)} + \boxed{K_s (\vec{R}_i \cdot \vec{V})^n} \right] + \boxed{K_r I_{r\lambda}} + \boxed{K_t I_{t\lambda}}$$

ambiante sources diffuse spéculaire réfléchie réfractée

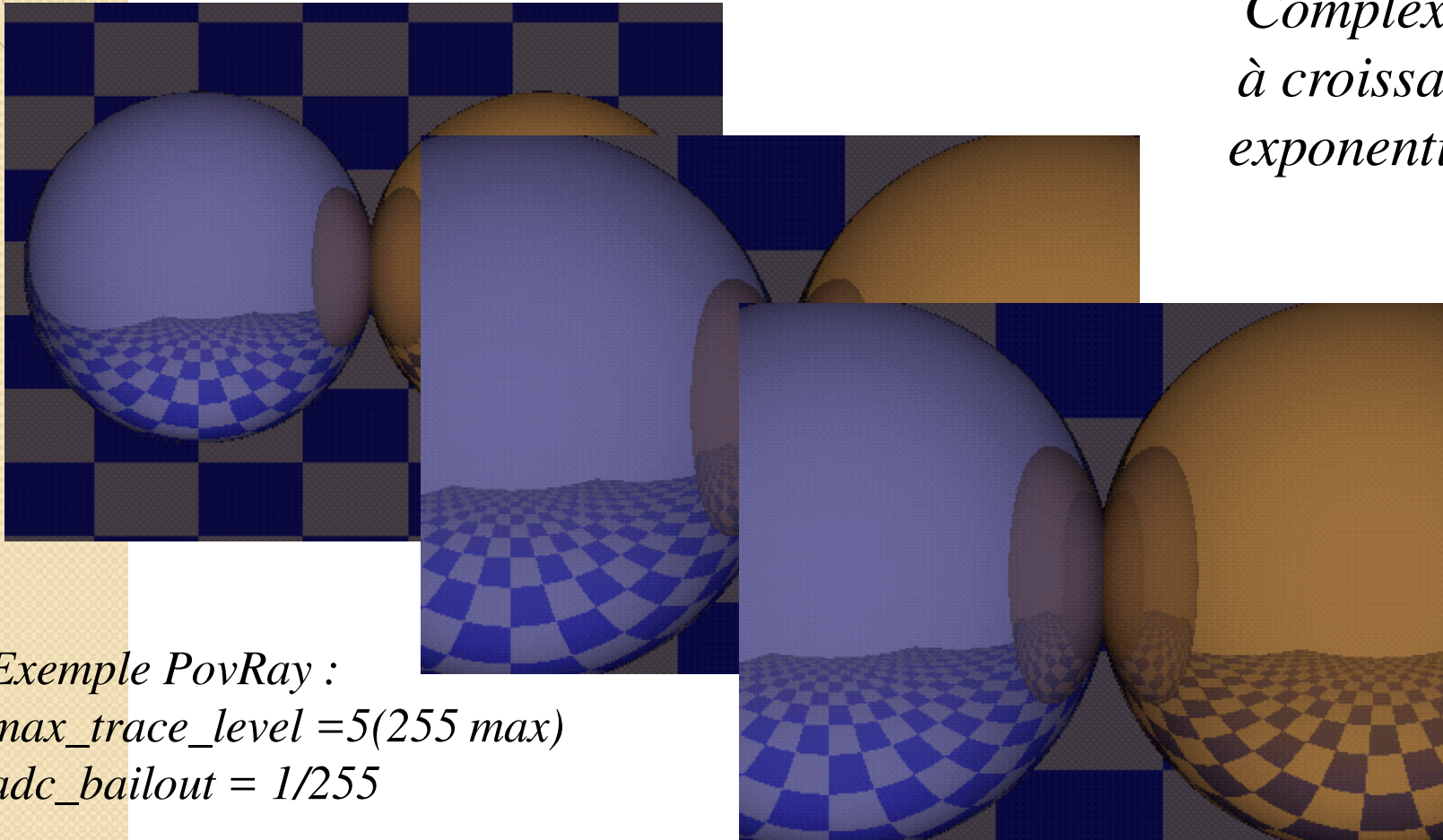


$S_i = 0$ si obstacle
 $S_i = 1$ sinon

$O_{d\lambda}$ avec $\lambda = R, V$ ou B

$$f_{att} = \min \left(\frac{1}{c_1 + c_2 D_l + c_3 D_l^2}, 1 \right)$$

Jusqu'où ?



*Complexité
à croissance
exponentielle*

*Exemple PovRay :
max_trace_level = 5 (255 max)
adc_bailout = 1/255*



Brackeys :

- [Lighting in Unity](#),
- [RealTime Lighting in Unity](#)
- ...



Pour aller plus loin...

- Chap « Illumination and Shading »
 - Computer Graphics – Foley, Van Dam... Addison Wesley
- Édition de texture

[Blender 2.7 Tutorial #13 :](#)
[UV Mapping \(Unwrapping for Image Textures\)](#)

- PovRay

<https://people.minesparis.psl.eu/olivier.stab/SIR>

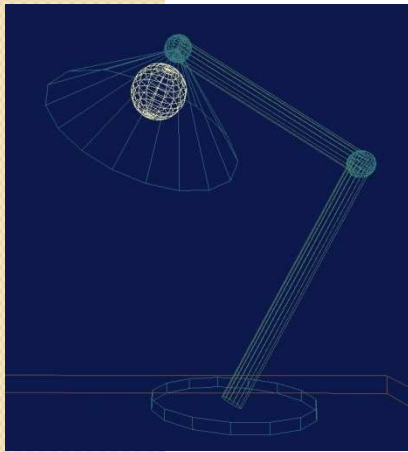


- [Unity, \(Brackeys\) :](#)

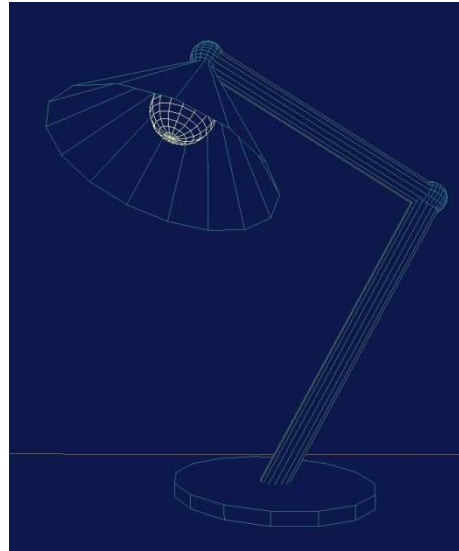
- [Lighting in Unity,](#)
- [RealTime Lighting in Unity](#)



5. Parties cachées & rendu (Brep)



Wireframe



Hidden Lines

Gouraud Shading

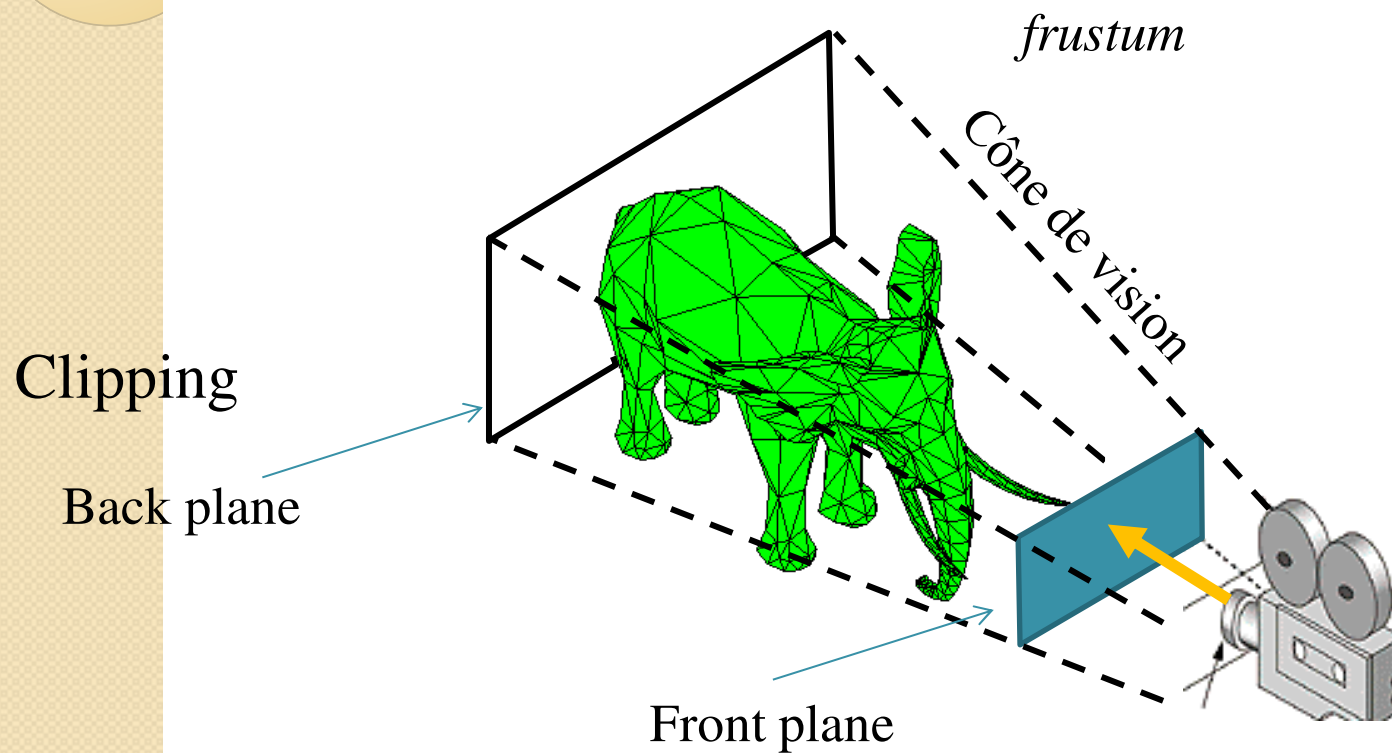


Flat Shading

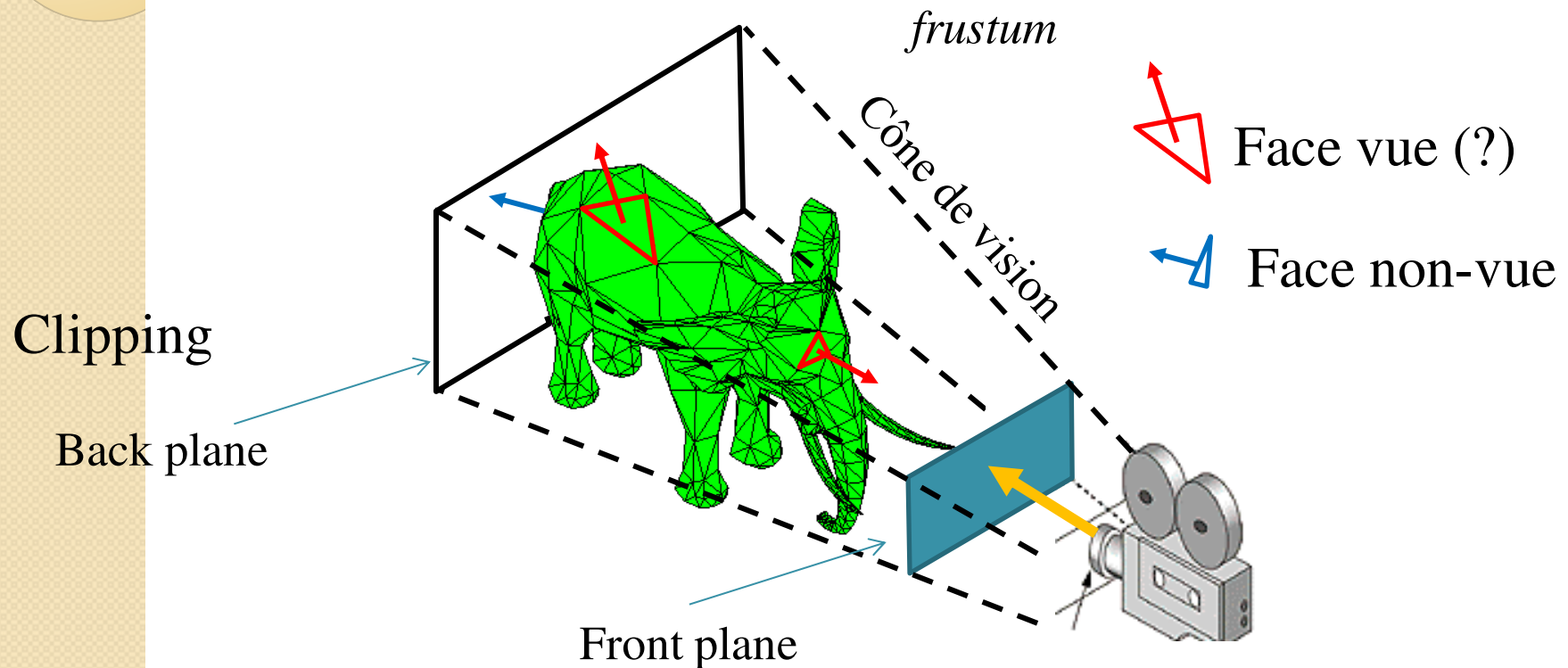


Antialiasing

Prétraitement : le Clipping

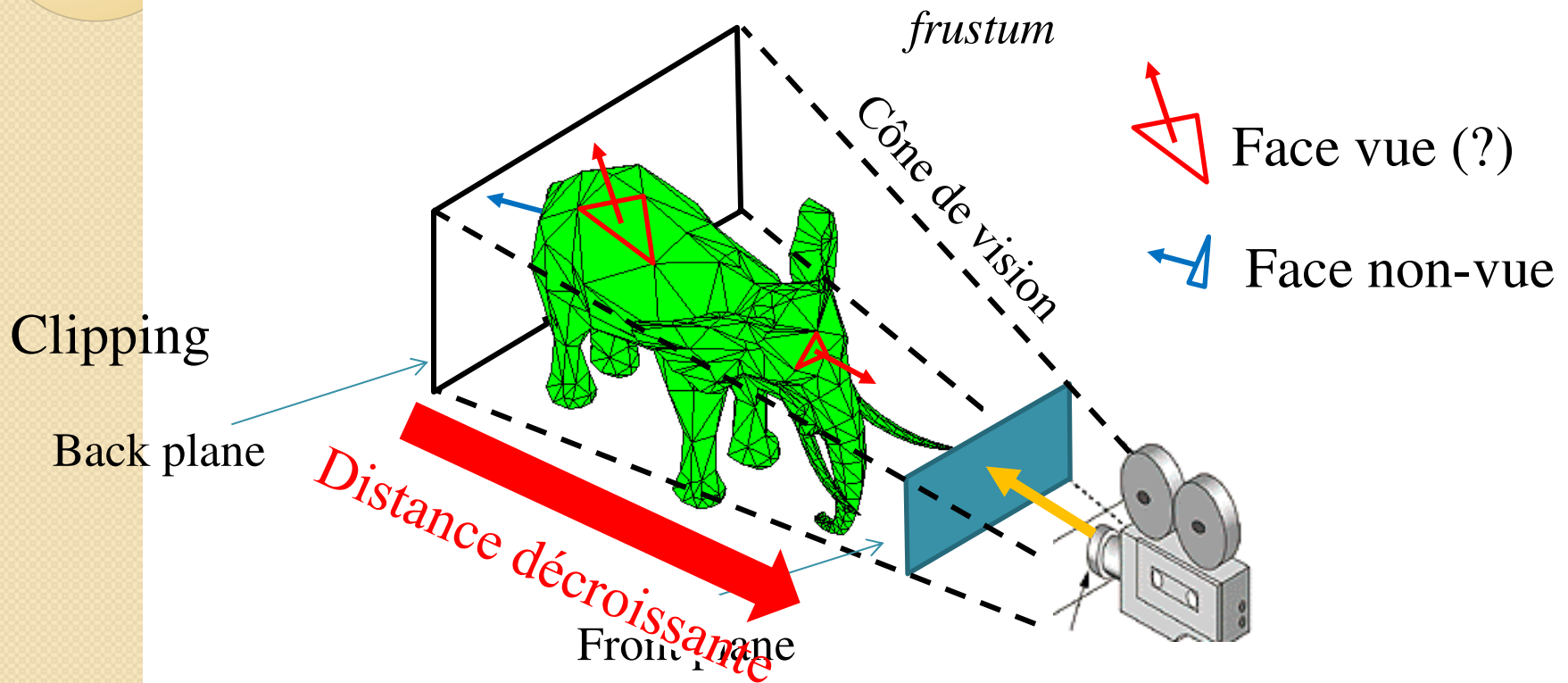


Prétraitement : Le Back face culling



Dans quel cas le « back-face culling » résout-il le problème des parties cachées ?

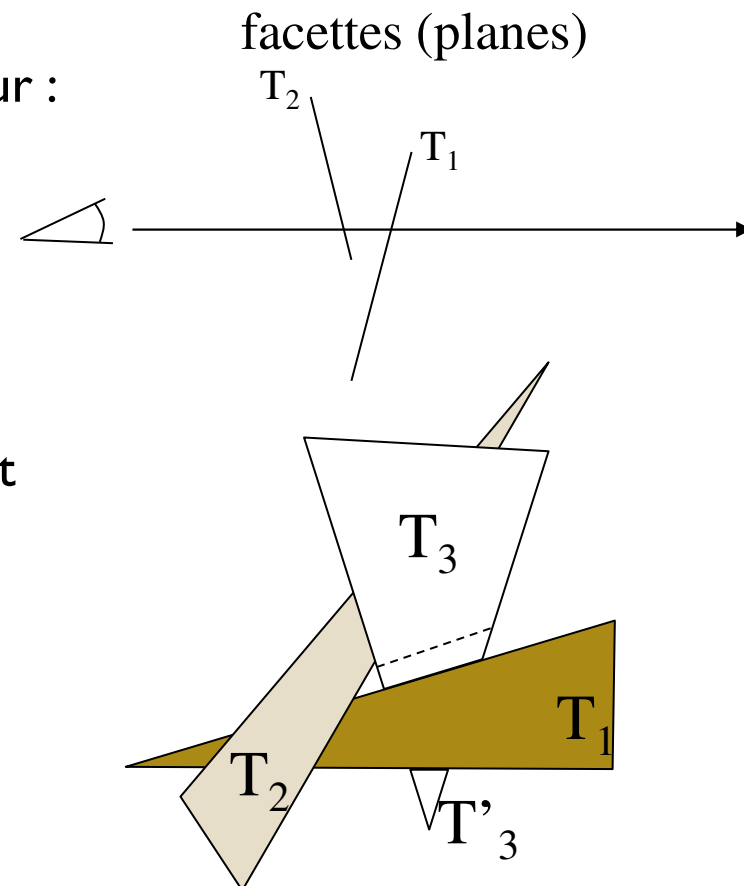
L'algorithme du peintre



Algorithme du peintre

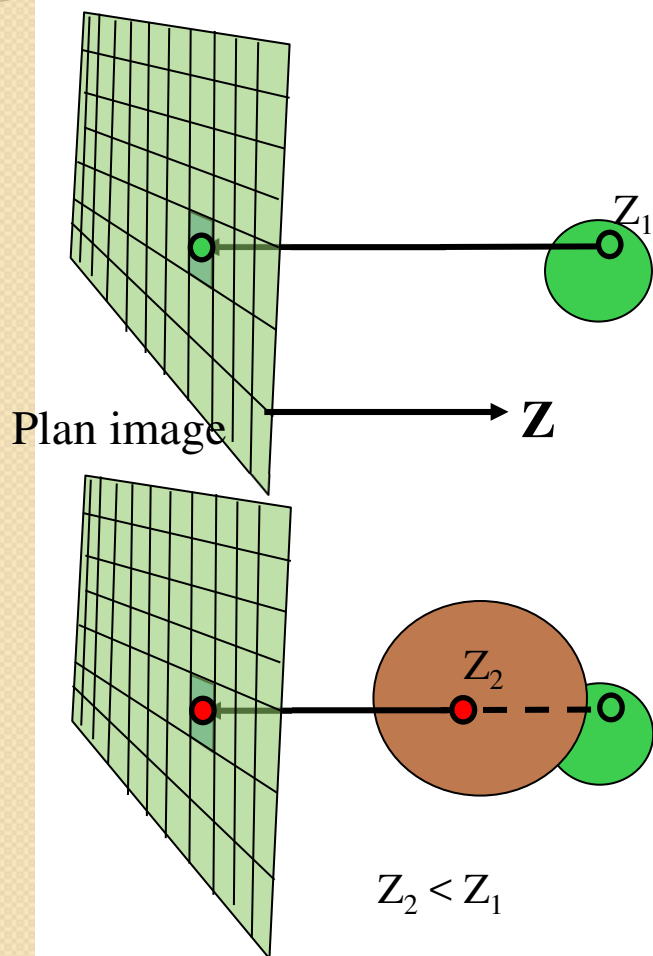
- Liste ordonnée de facettes
 - trier les facettes suivant leur profondeur : Z-max
 - afficher en Z-max décroissant
 - ambiguïtés : problème du recouvrement cyclique...

$$T_2 < T_1$$

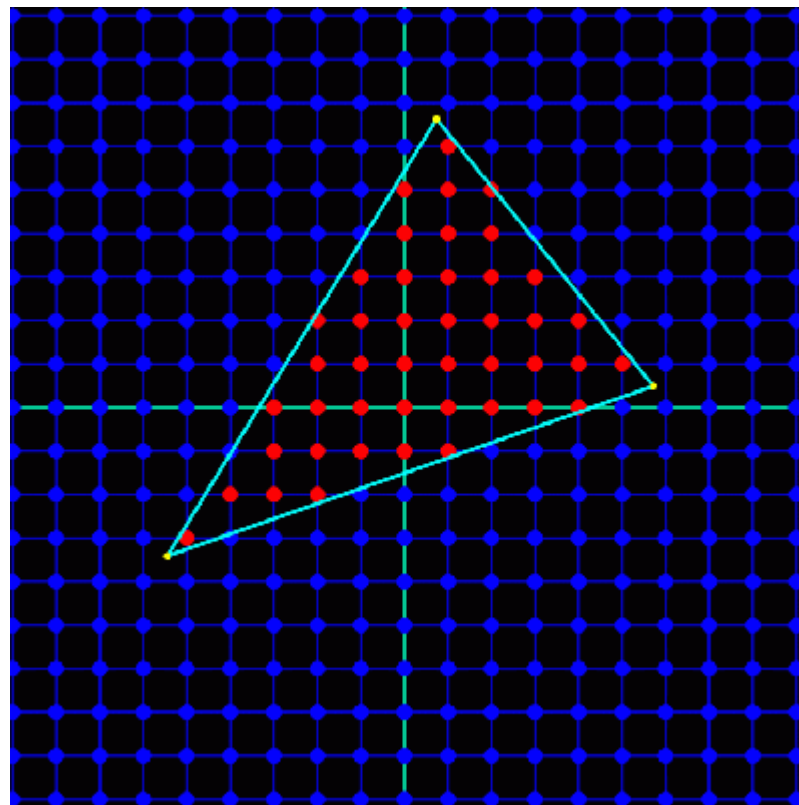


Z-buffer* : ordre de profondeur

Distance $\min(Z_i)$ par pixel?



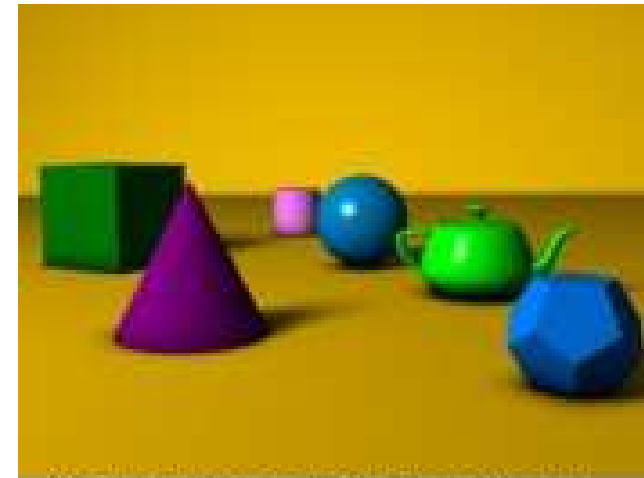
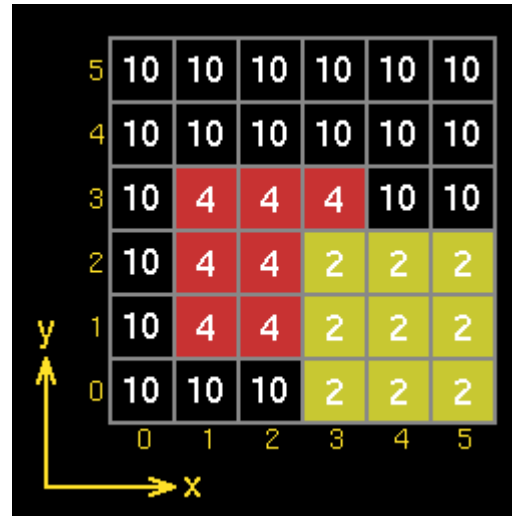
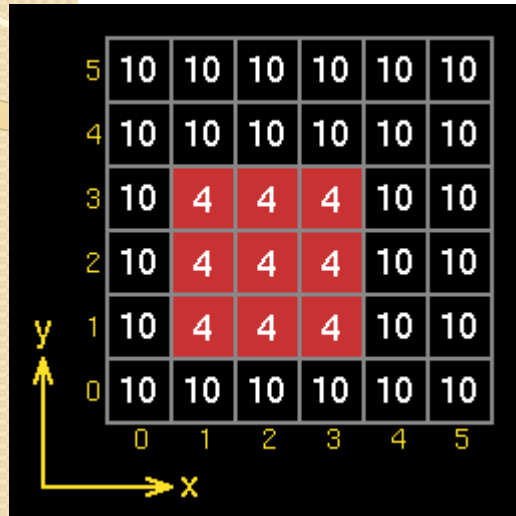
Pendant la « pixelisation »



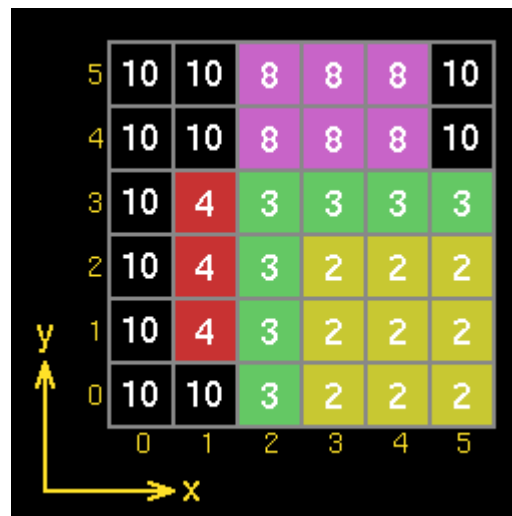
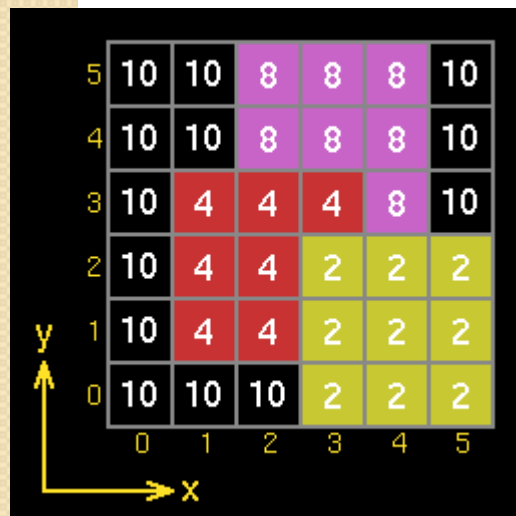
A la résolution écran

**Edwin Catmull 1974*

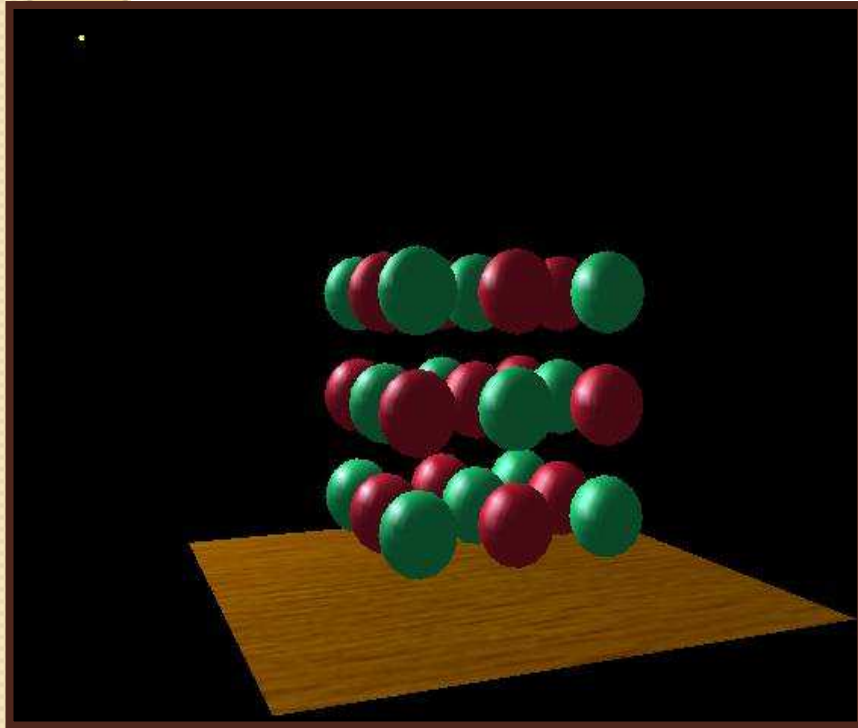
Z-buffer (example)



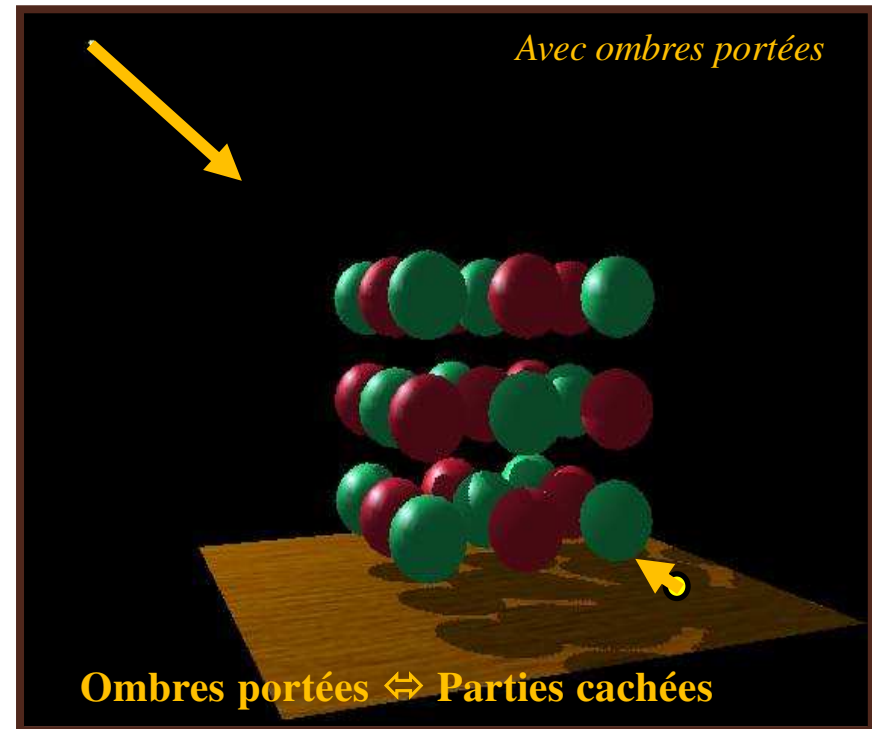
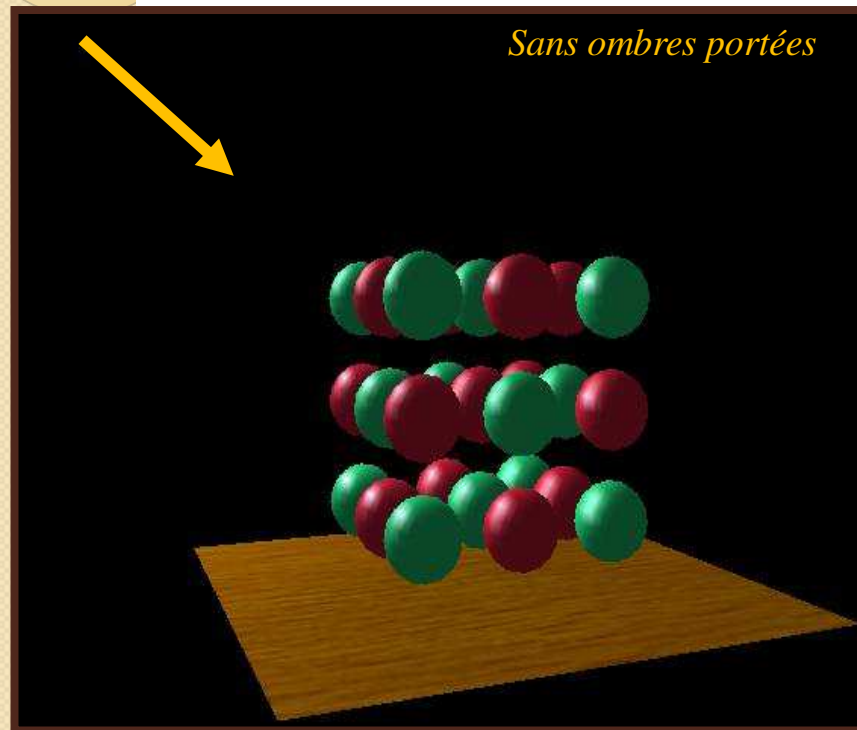
A simple three dimensional scene



Z-buffer representation



Ombres portées



Combien de fois l'algorithme de parties cachées doit-il être appelé ?

Texture d'ombre

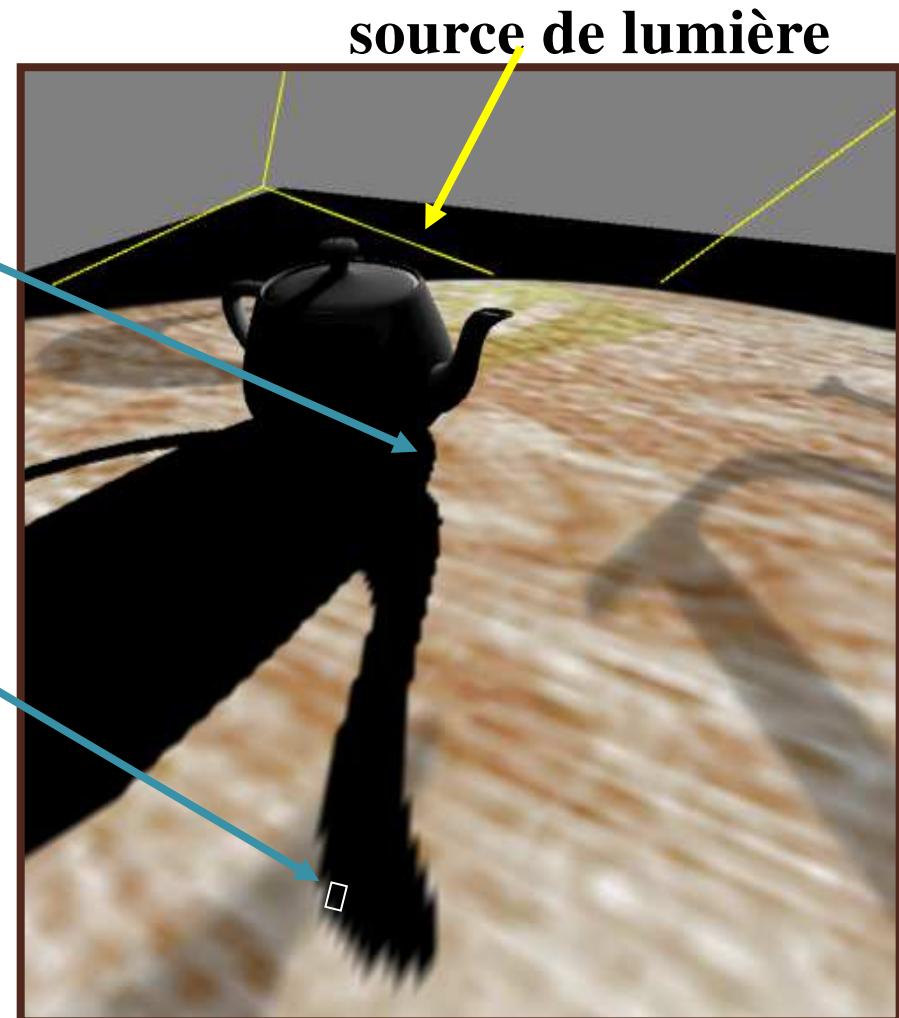
problème d' « aliasing » avec le Z-buffer

**Contours très précis
près de la source**

**Contour très
grossier loin de la
source**

Un seul pixel dans le
Zbuffer de la source

Solution : Irregular Z-buffer



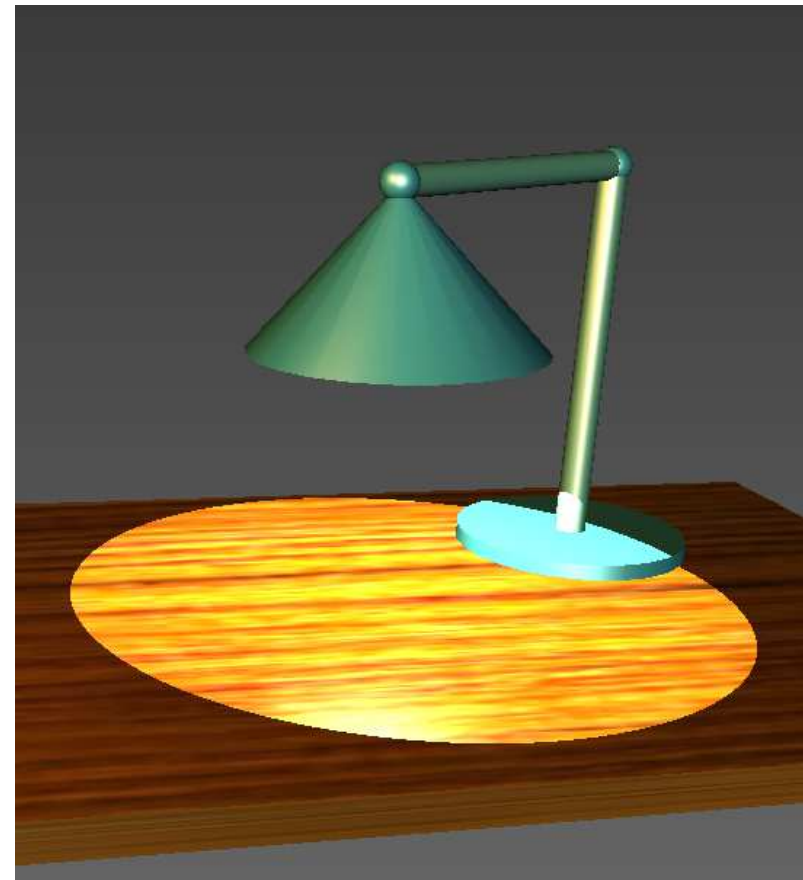
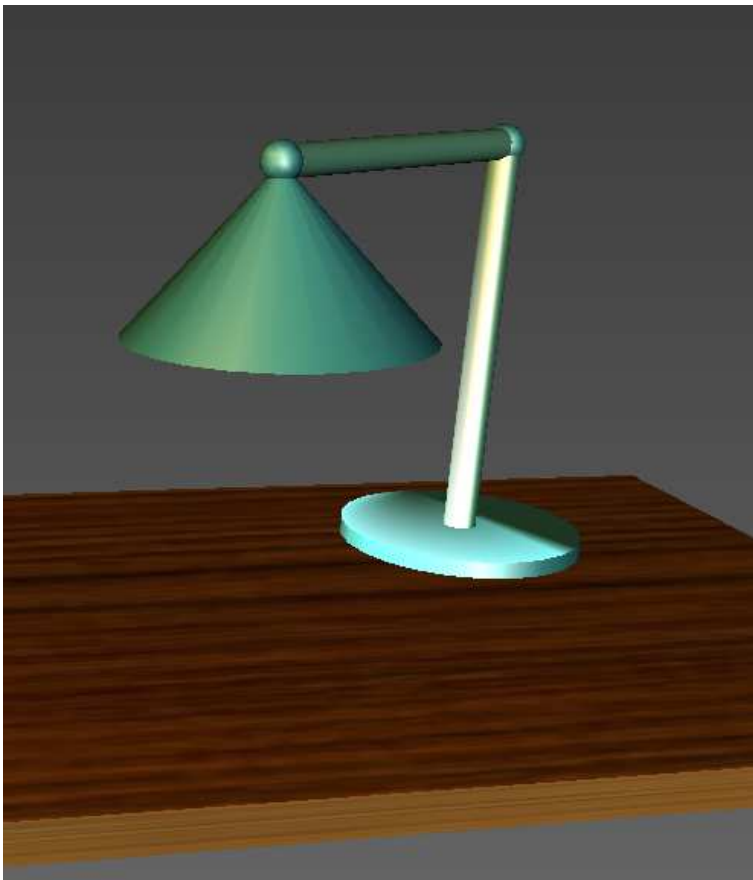


Brackeys :

- [Lighting in Unity](#),
- [RealTime Lighting in Unity](#)

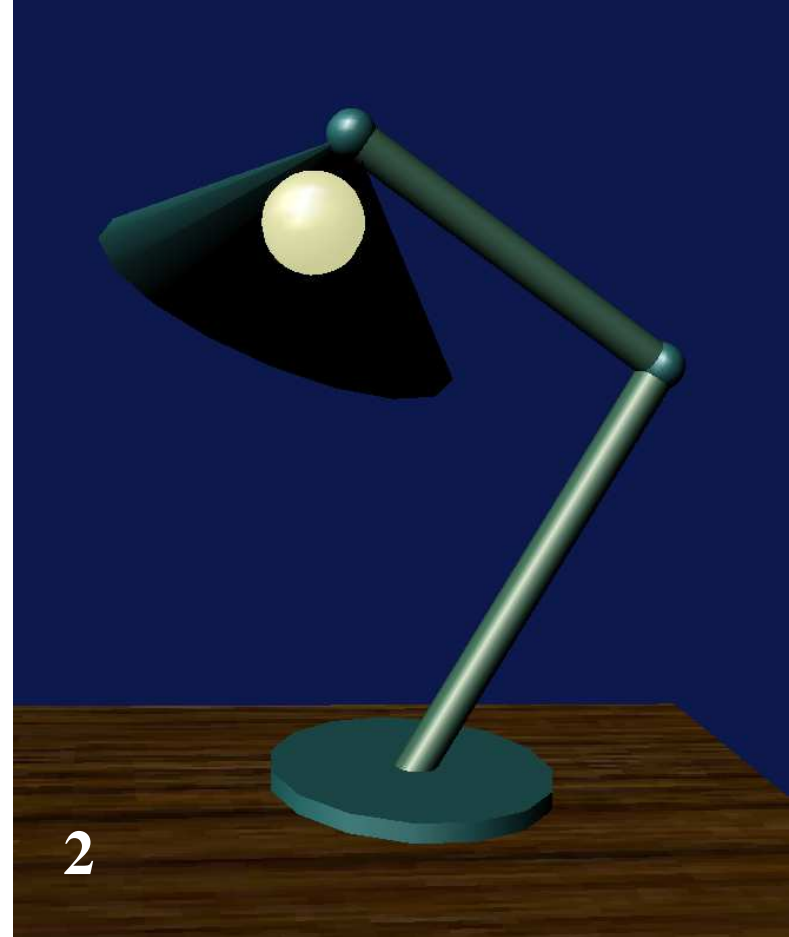


Exercice



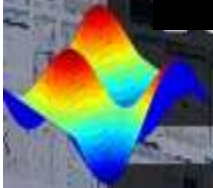
Pourquoi l'éclairage de la table n'est pas réaliste sur l'image de g

Exercice



Localisez et interprétez les erreurs sur les images 1 et 2 ?

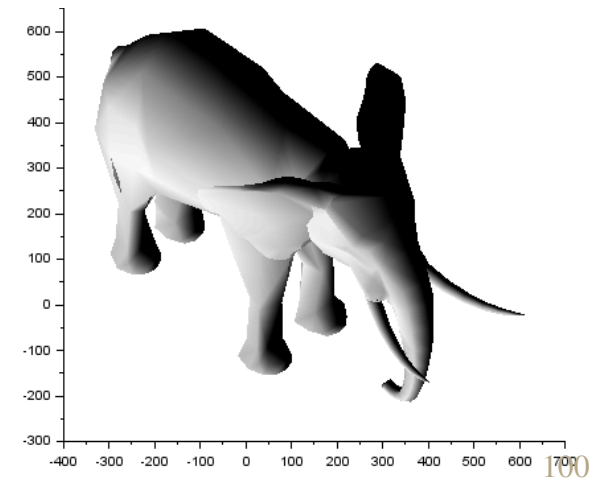
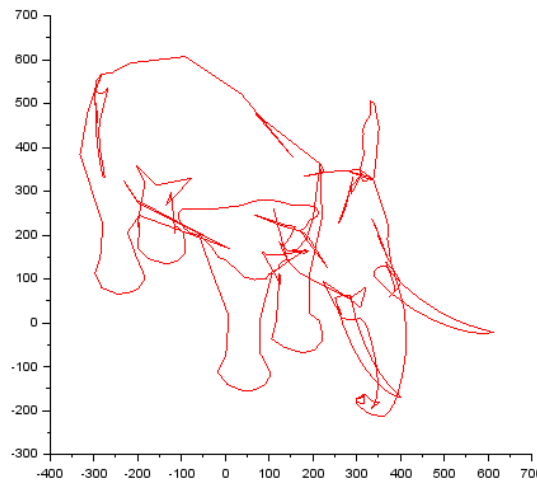
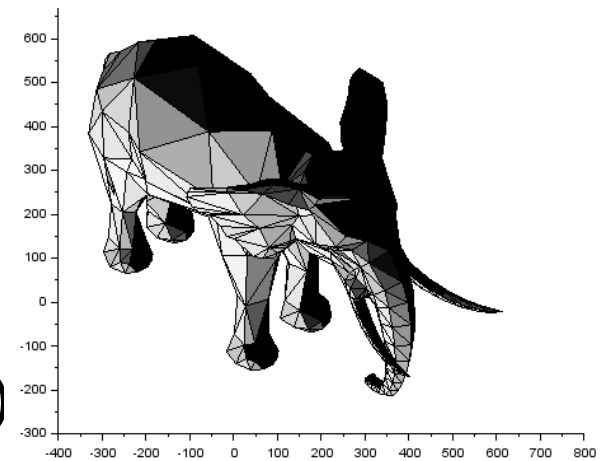
TP 3 : Shader



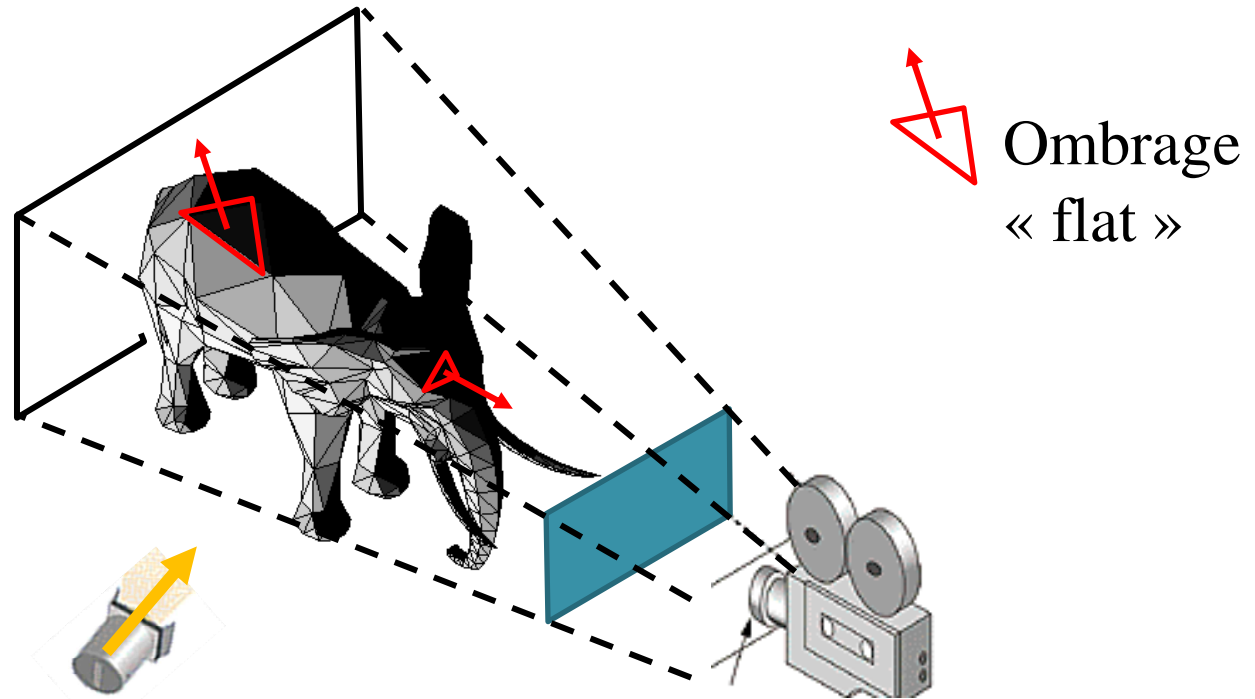
Scilab

Eclairage d'une triangulation (3D)

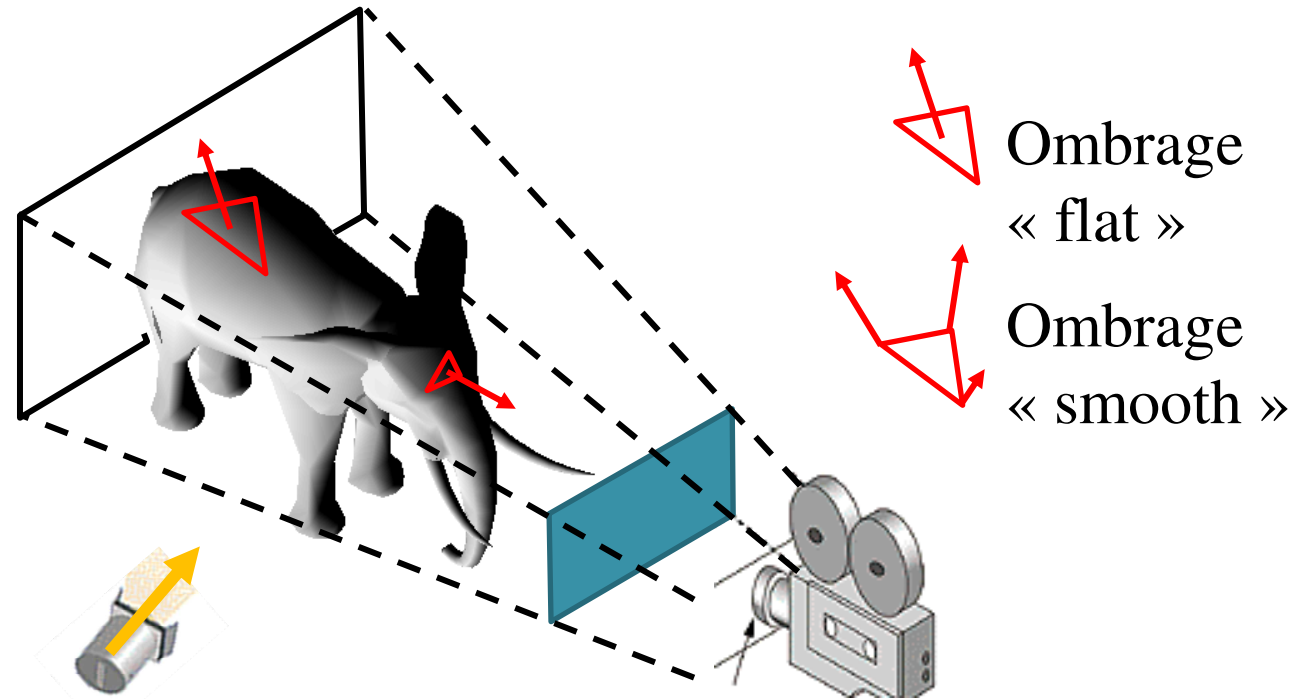
1. FLAT SHADING
2. SMOOTH SHADING
3. Silhouettes
4. FLAT and SMOOTH (critère d'angle)



Le « flat shading »



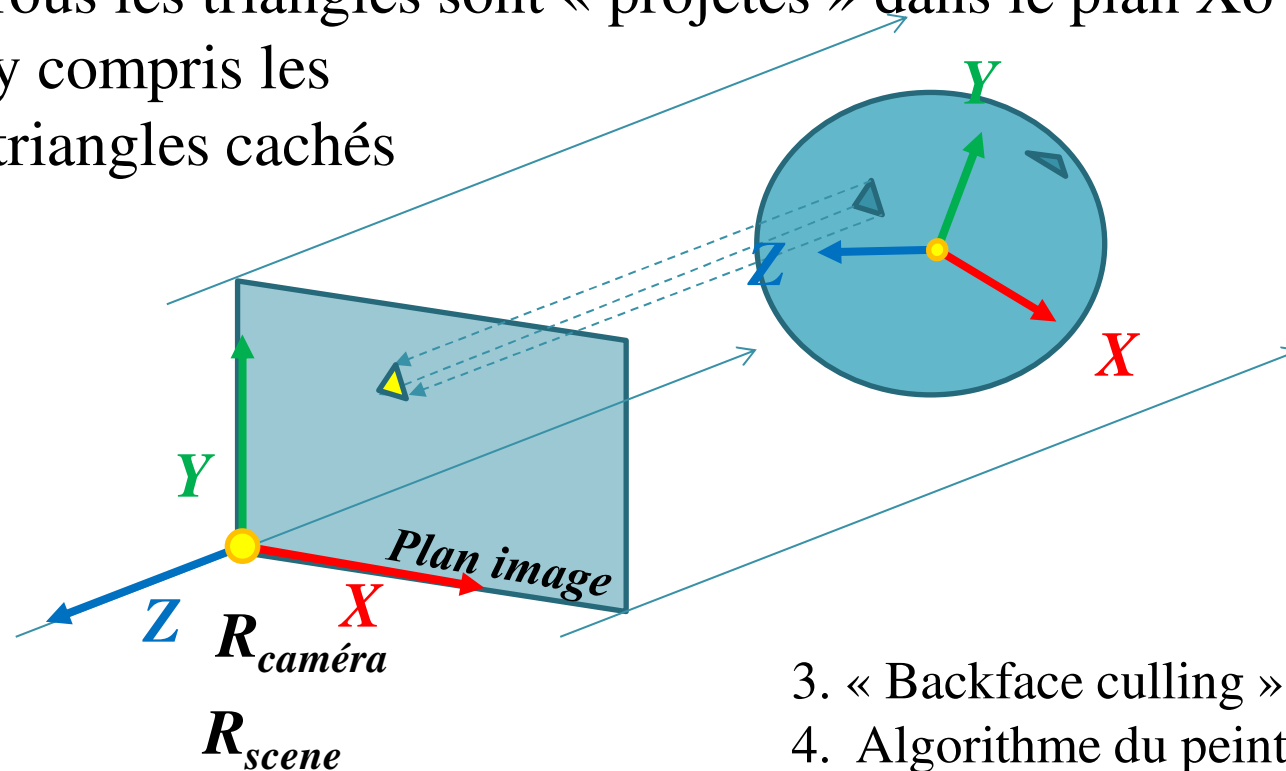
Le « gouraud shading »



TP 2 : Pré-requis

- Triplot2d(XYZcoord, itrnoe, couleur)

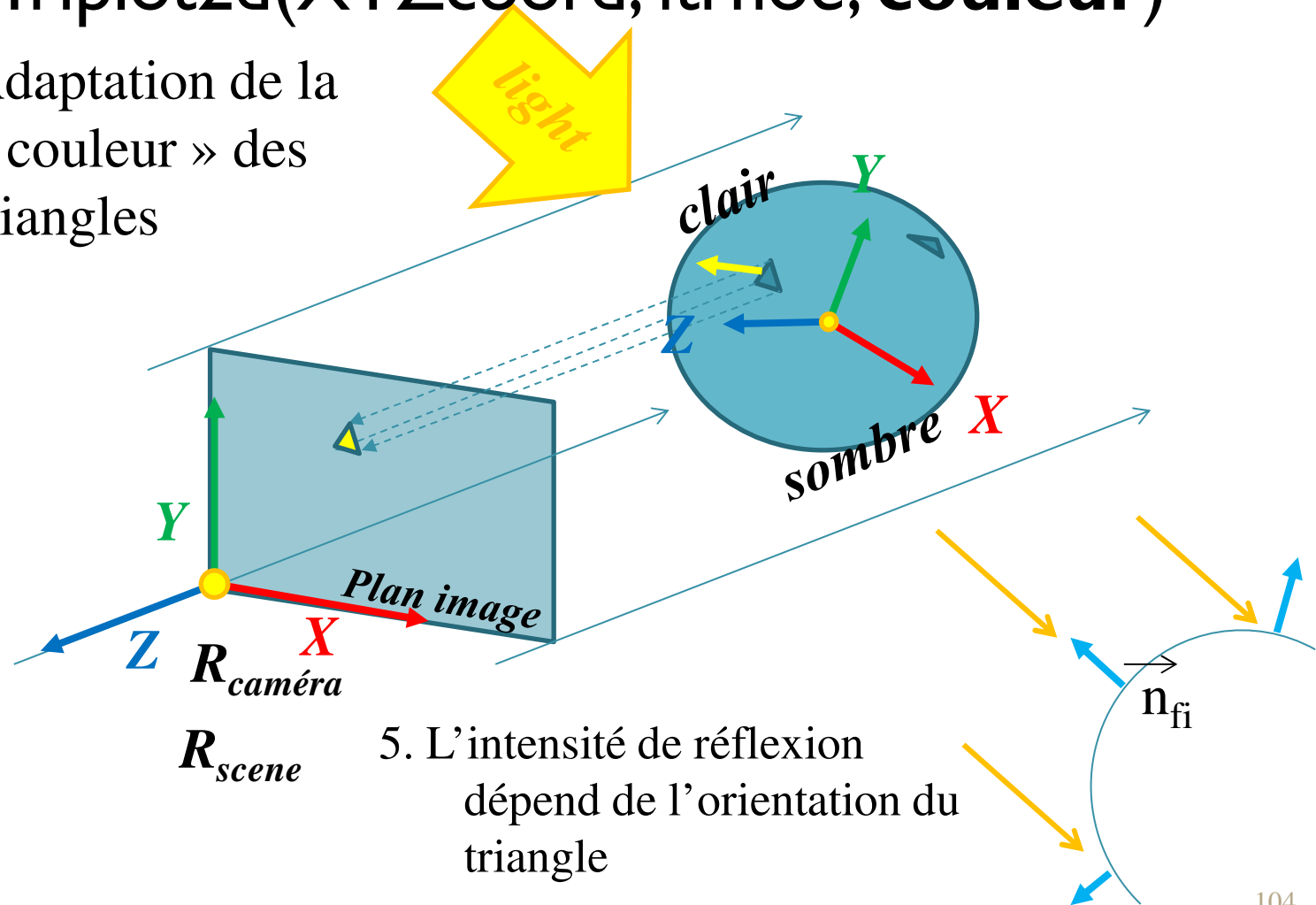
Tous les triangles sont « projetés » dans le plan XoY y compris les triangles cachés



TP 2 : Pré-requis (2)

- Triplot2d(XYZcoord, itrnoe, **couleur**)

Adaptation de la
« couleur » des
triangles



5. L'intensité de réflexion
dépend de l'orientation du
triangle

TP 2 : Pré-requis (3)

- Triplot2d(XYZcoord, itrnoe, **couleur**)

Adaptation de la
« couleur » des
triangles

